

# Experiment ATLAS v CERN

Komplexní soustava (sub)detektorů  
univerzálního zaměření  
na urychlovači LHC

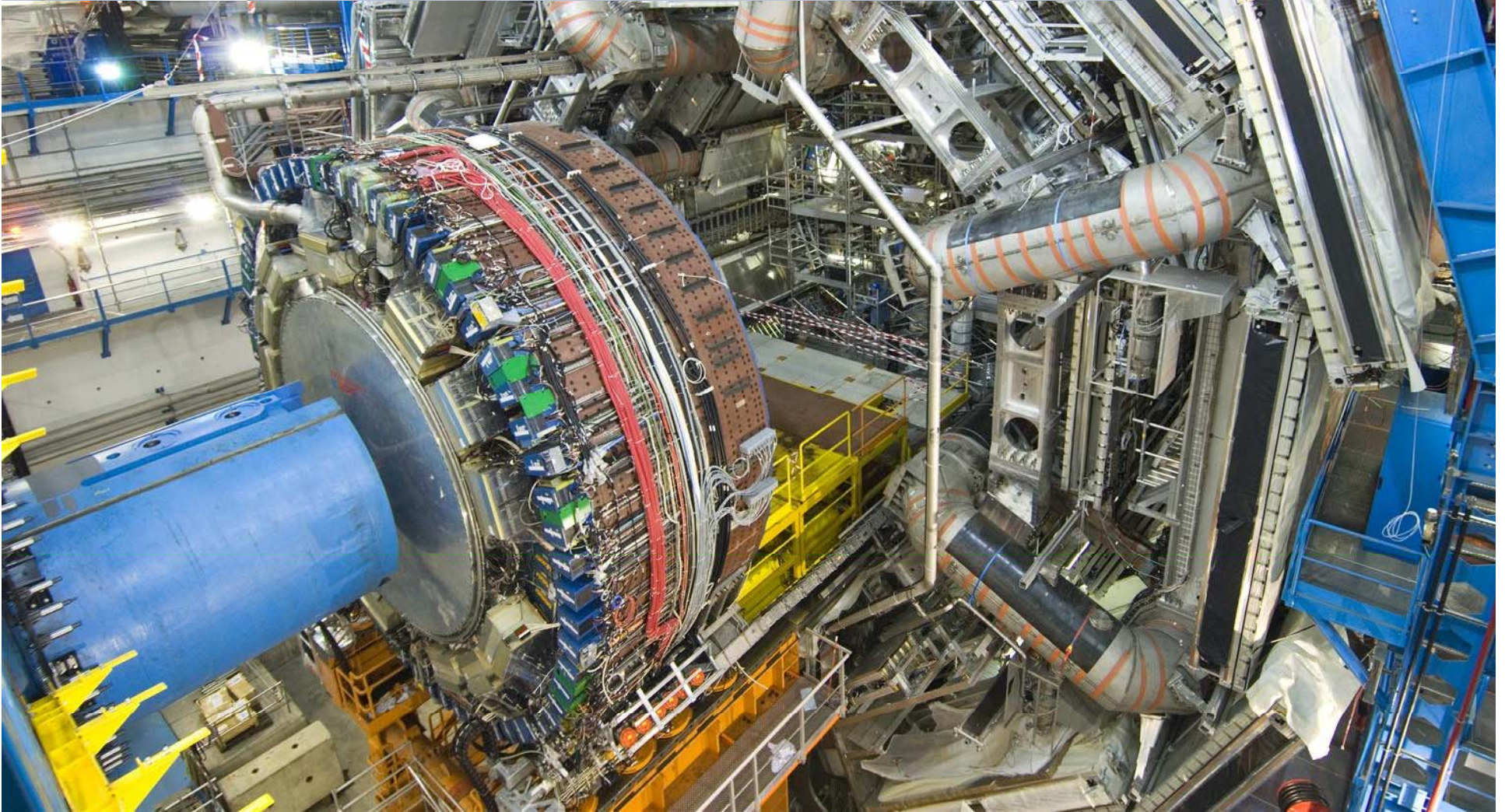
# Úvod

- Co, Kde, Kdy
- Fyzikální motivace ( Proč )
  - Standardní model je neúplný
  - Narušení elektroslabé symetrie
  - Existují další kvarky? Mají kvarky strukturu?
- [www-ucjf.troja.mff.cuni.cz/dolejsi/textbook/LHC\\_CZ.ppt](http://www-ucjf.troja.mff.cuni.cz/dolejsi/textbook/LHC_CZ.ppt)

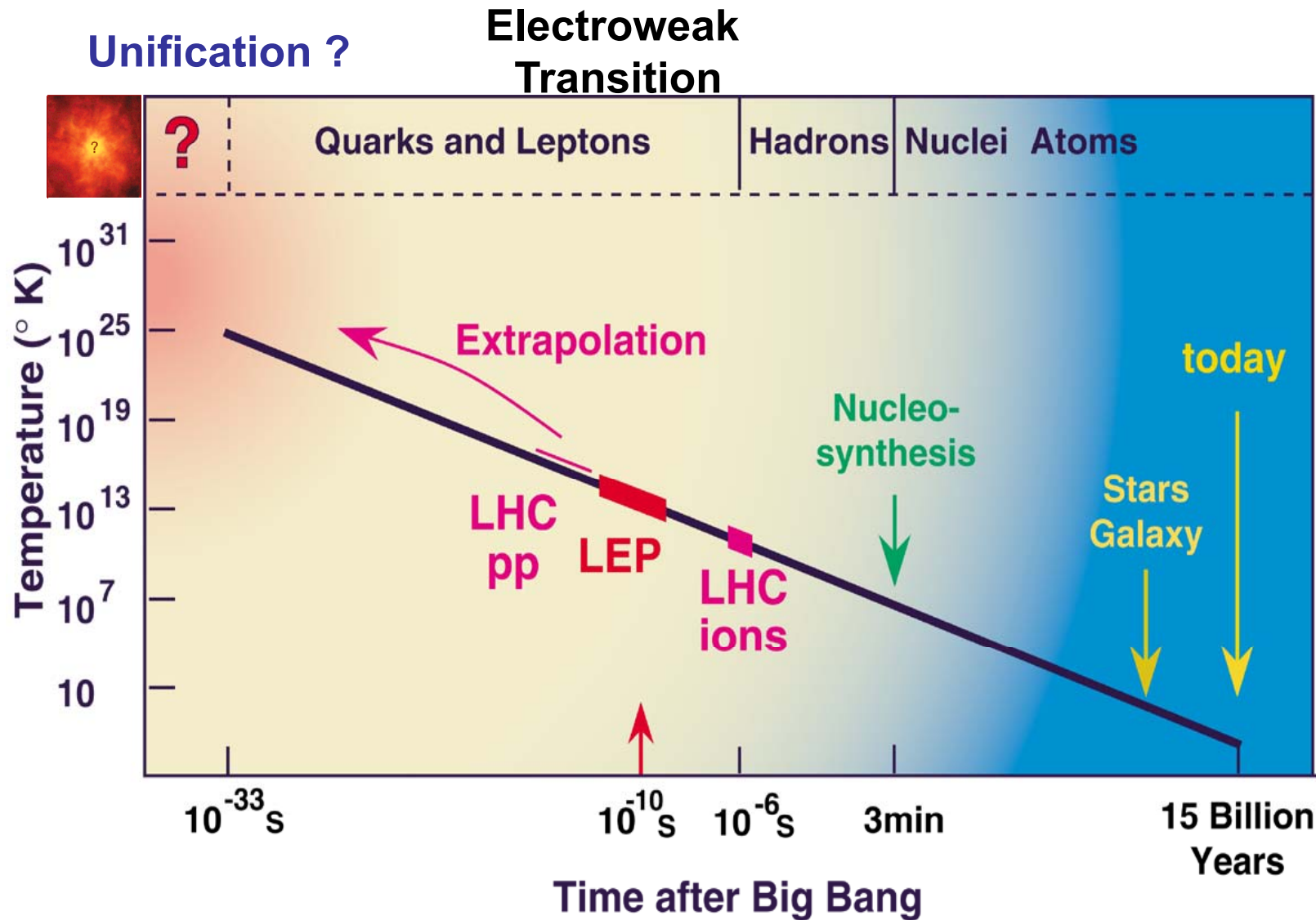


# THE ATLAS EXPERIMENT

Mapping the Secrets of the Universe



# Understanding the Universe ...



# Experiment ATLAS v CERN

- A Toroidal LHC ApparatuS (= ATLAS)
- Large Hadron Collider (= LHC)
- Conseil Européenne pour la Recherche Nucléaire (= CERN)
  - ( 1954: Conseil  $\longrightarrow$  Organisation )
  - Dnes: Evropská Laboratoř Částicové Fyziky

# Large Hadron Collider

Lake of Geneva

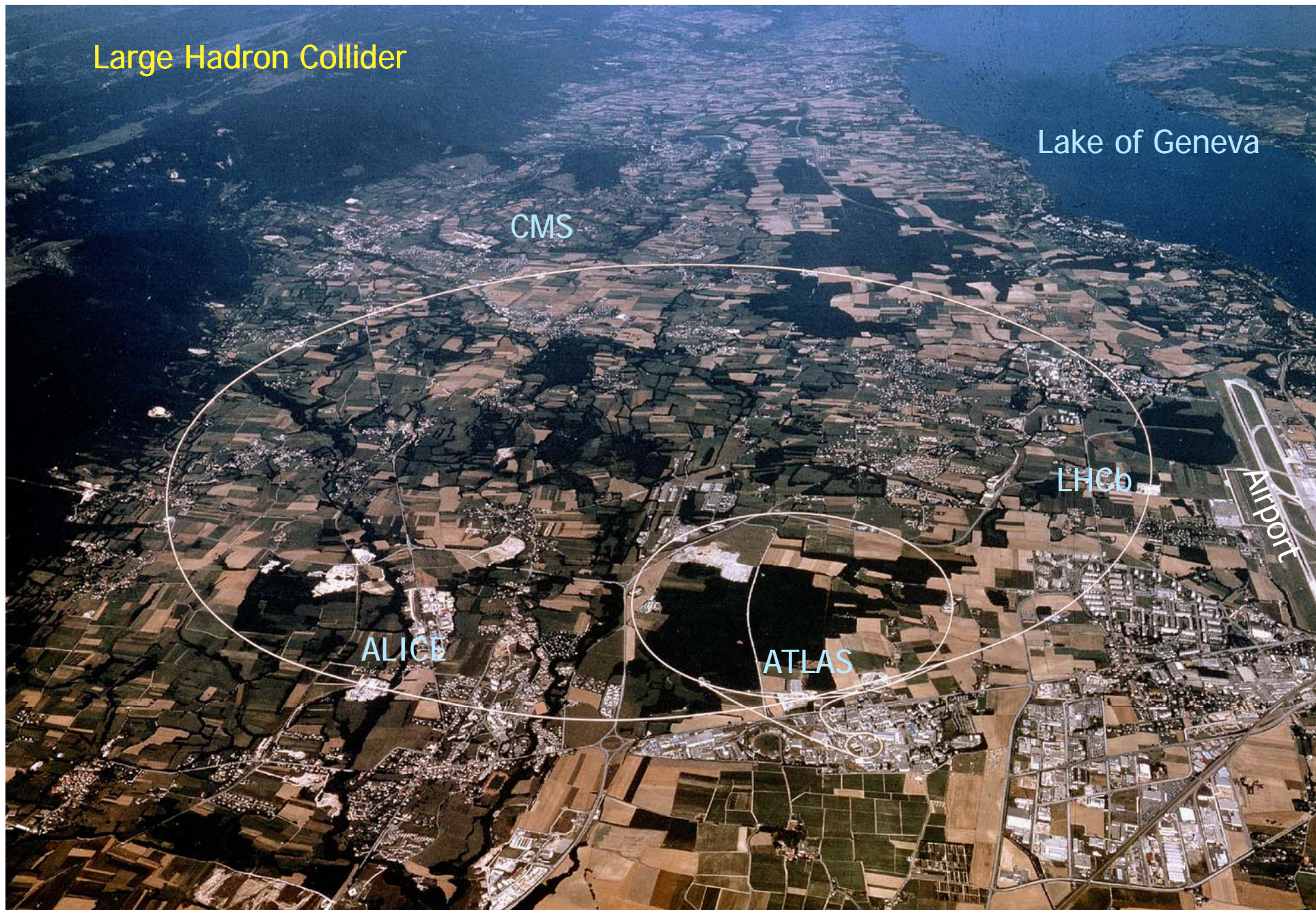
CMS

LHCb

Airport

ALICE

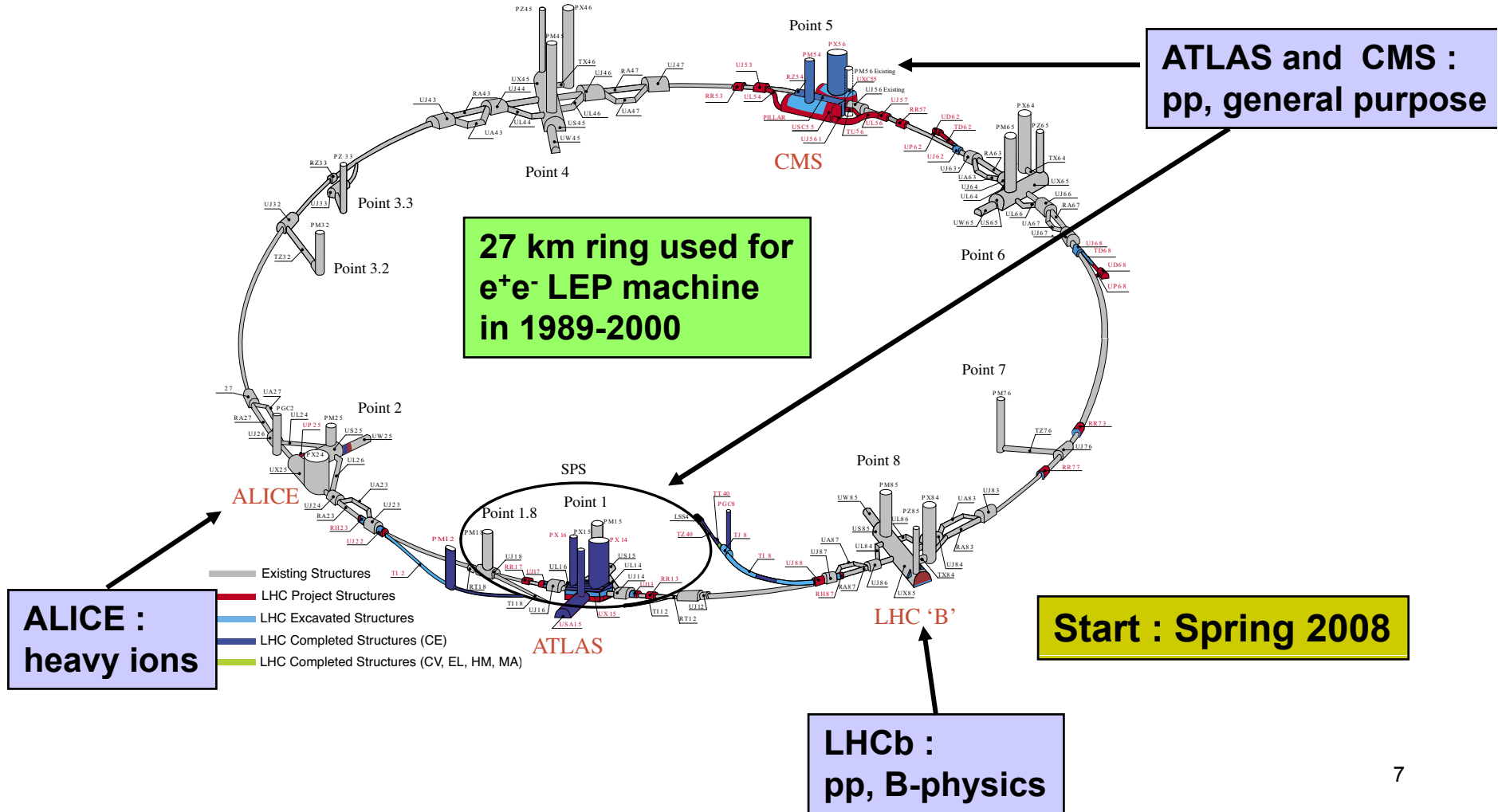
ATLAS



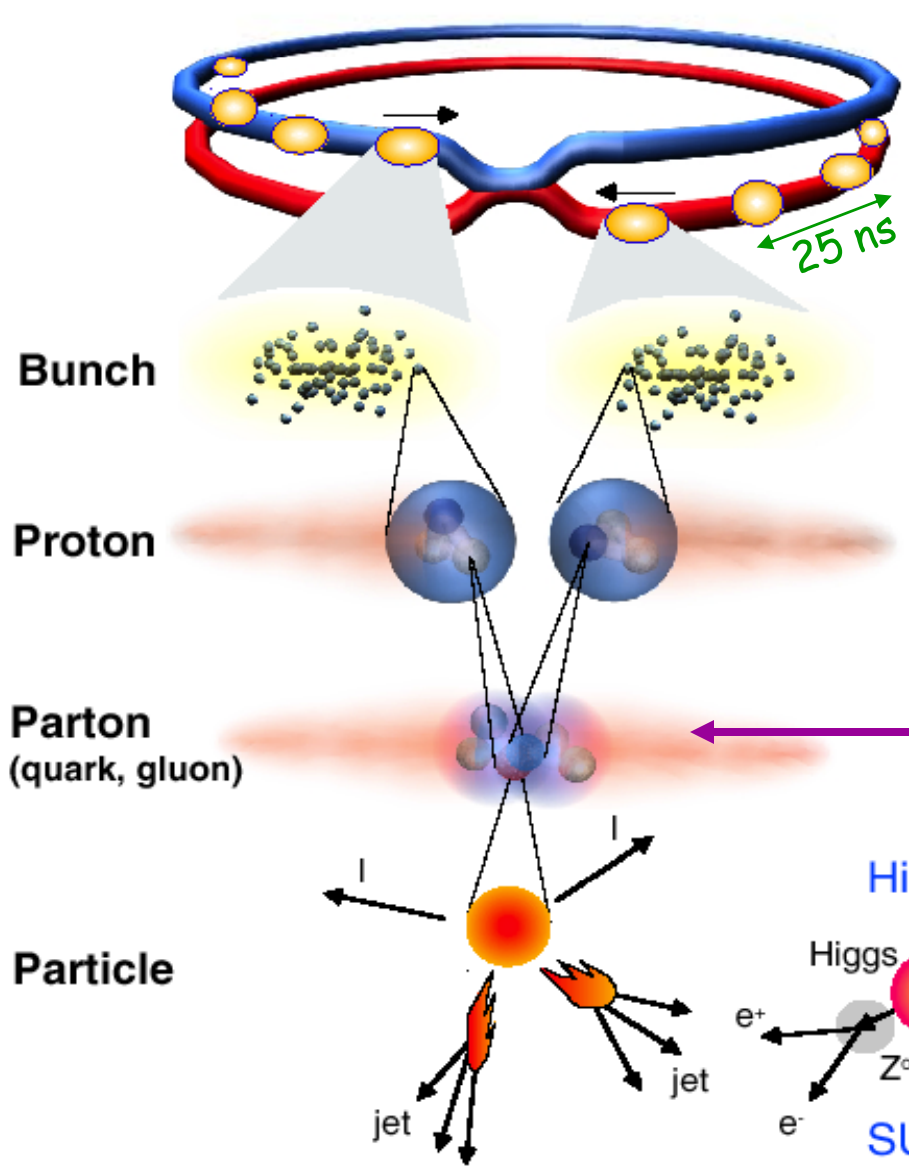
# LHC

pp

- $\sqrt{s} = 14 \text{ TeV}$  (7 krát víc, než dosud existující TEVATRON)  
 → hledání nových těžkých částic až do hmoty  $m \sim 5 \text{ TeV}$
- $L_{\text{design}} = 10^{34} \text{ cm}^{-2} \text{ s}^{-1}$  (~ 100 krát víc než na Tevatronu)  
 → hledání vzácných procesů malé  $\sigma$  ( $N = L\sigma$ )



# V LHC se sráží protony



**Proton-Proton**  
 Protons/bunch  $10^{11}$   
 Beam energy 7 TeV ( $7 \times 10^{12}$  eV)  
 Luminosity  $10^{34}$  cm<sup>-2</sup> s<sup>-1</sup>

Bunch = Metro vlak

23 interakcí při každé srážce „vlaků“ :

$N = L \times \sigma (pp) \approx 10^9$  interakcí/s

Převážně „měkké“ ( low  $p_T$  ) případy

Zajímavé „tvrdé“ ( high- $p_T$  ) případy jsou vzácné

**Selection of 1 in  
 10,000,000,000,000**

→ Potřeba velmi sofistikovaného detektoru



## Hlavní cíle pp fyziky na LHC

Hledání chybějícího článku Standardního Modelu (SM) = **Higgsova bosonu**  
v oblasti hmot  $\sim 115 < m_H < 1000 \text{ GeV}$

Hledání **Fyziky za SM** (Supersymmetry,  $q/\ell$  compositeness, leptoquarks,  $W'/Z'$ ,  
heavy  $q/\ell$ , Extra-dimensions, ....) až do **TeV-ové oblasti**

Přesná měření :

- **W hmoty**
- **top hmoty**, vazbových konstant a rozpadových vlastností
- Higgs hmoty, spinu, vazbových konstant (když se Higgs najde)
- **B-fyzika (doplněk k LHCb)**: CP violation, rare decays,  $B^0$  oscillations
- **QCD** účinné průřezy pro jety,  $\alpha_s$
- atd. ....

Studium **fázového přechodu na plasmu** nevázaných kvarků a gluonů při velkých hadronových hustotách (doplněk k experimentu **ALICE**).

A další .....

# ATLAS

- Spolupracující instituce z celého světa
- Tři hlavní součásti detektoru
  - Vnitřní detektor
  - Kalorimetry
  - Mionový spektrometr s toroidálním magnetem
- Měření hybnosti mionů

# ATLAS Collaboration

(Status October 2007)

37 států  
 167 Institucí  
 2000 celkem vědeckých autorů  
 ( 400 studentů)

Nově přijatí členové :  
 Santiago (PUC)/ Valparaíso (UTFSM), Chile  
 Bogotá (UAN), Colombia

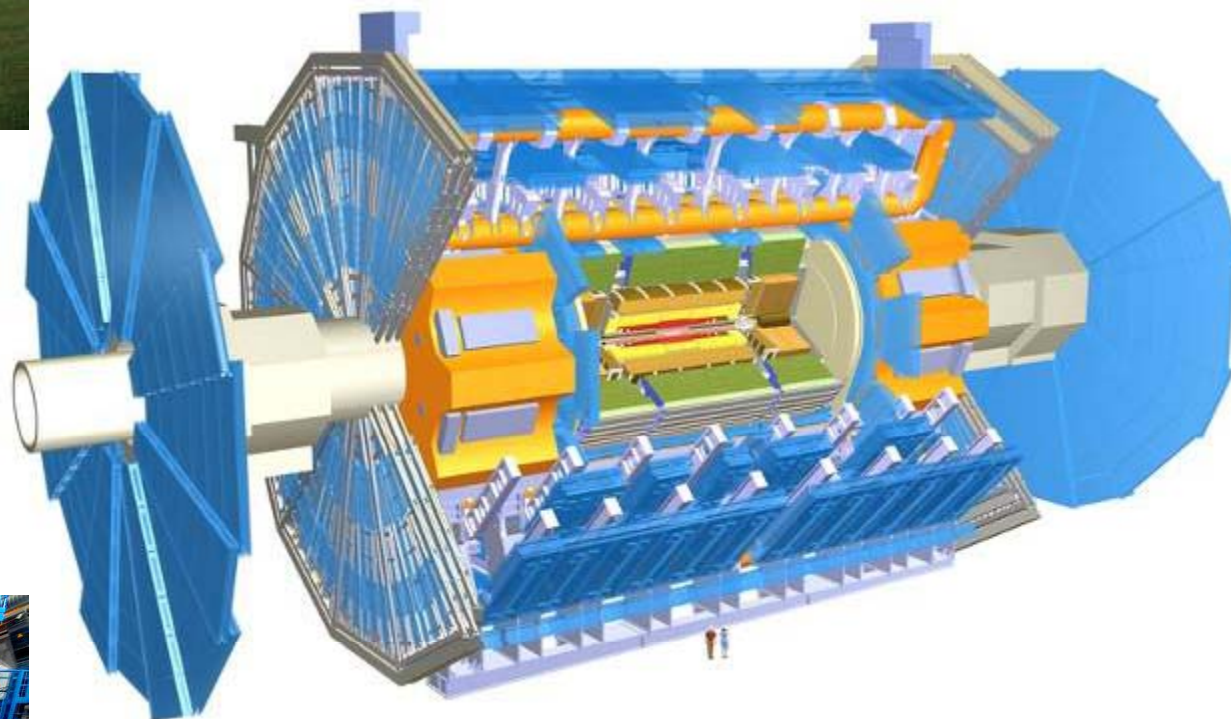


Albany, Alberta, NIKHEF Amsterdam, Ankara, LAPP Annecy, Argonne NL, Arizona, UT Arlington, Athens, NTU Athens, Baku, IFAE Barcelona, Belgrade, Bergen, Berkeley LBL and UC, HU Berlin, Bern, Birmingham, Bologna, Bonn, Boston, Brandeis, Bratislava/SAS Kosice, Brookhaven NL, Buenos Aires, Bucharest, Cambridge, Carleton, Casablanca/Rabat, CERN, Chinese Cluster, Chicago, Clermont-Ferrand, Columbia, NBI Copenhagen, Cosenza, AGH UST Cracow, IFJ PAN Cracow, DESY, Dortmund, TU Dresden, JINR Dubna, Duke, Frascati, Freiburg, Geneva, Genoa, Giessen, Glasgow, Göttingen, LPSC Grenoble, Technion Haifa, Hampton, Harvard, Heidelberg, Hiroshima, Hiroshima IT, Indiana, Innsbruck, Iowa SU, Irvine UC, Istanbul Bogazici, KEK, Kobe, Kyoto, Kyoto UE, Lancaster, UN La Plata, Lecce, Lisbon LIP, Liverpool, Ljubljana, QMW London, RHBNC London, UC London, Lund, UA Madrid, Mainz, Manchester, Mannheim, CPPM Marseille, Massachusetts, MIT, Melbourne, Michigan, Michigan SU, Milano, Minsk NAS, Minsk NCPHEP, Montreal, McGill Montreal, FIAN Moscow, ITEP Moscow, MEPH Moscow, MSU Moscow, Munich LMU, MPI Munich, Nagasaki IAS, Nagoya, Naples, New Mexico, New York, Nijmegen, BINP Novosibirsk, Ohio SU, Okayama, Oklahoma, Oklahoma SU, Oregon, LAL Orsay, Osaka, Oslo, Oxford, Paris VI and VII, Pavia, Pennsylvania, Pisa, Pittsburgh, **CAS Prague, CU Prague, TU Prague**, IHEP Protvino, Regina, Ritsumeikan, UFRJ Rio de Janeiro, Rome I, Rome II, Rome III, Rutherford Appleton Laboratory, DAPNIA Saclay, Santa Cruz UC, Sheffield, Shinshu, Siegen, Simon Fraser Burnaby, SLAC, Southern Methodist Dallas, NPI Petersburg, Stockholm, KTH Stockholm, Stony Brook, Sydney, AS Taipei, Tbilisi, Tel Aviv, Thessaloniki, Tokyo ICEPP, Tokyo MU, Toronto, TRIUMF, Tsukuba, Tufts, Udine/ICTP, Uppsala, Urbana UI, Valencia, UBC Vancouver, Victoria, Washington, Weizmann Rehovot, FH Wiener Neustadt, Wisconsin, Wuppertal, Yale, Yerevan

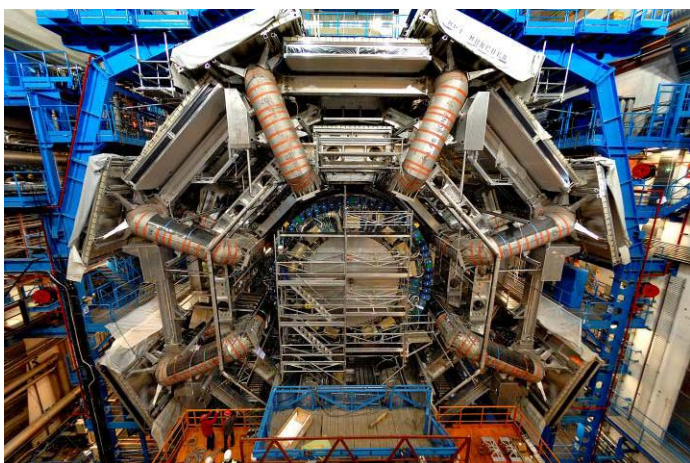
## *ATLAS v číslech a představách*



ATLAS vestavěný do budovy 40  
(první magnet už tam leží..)



<i>Průměr</i>	<i>25 m</i>
<i>Délka toroidálního magnetu</i>	<i>26 m</i>
<i>Vzdálenost krajních mionových komor</i>	<i>46 m</i>
<i>Celková váha</i>	<i>7000 tun</i>



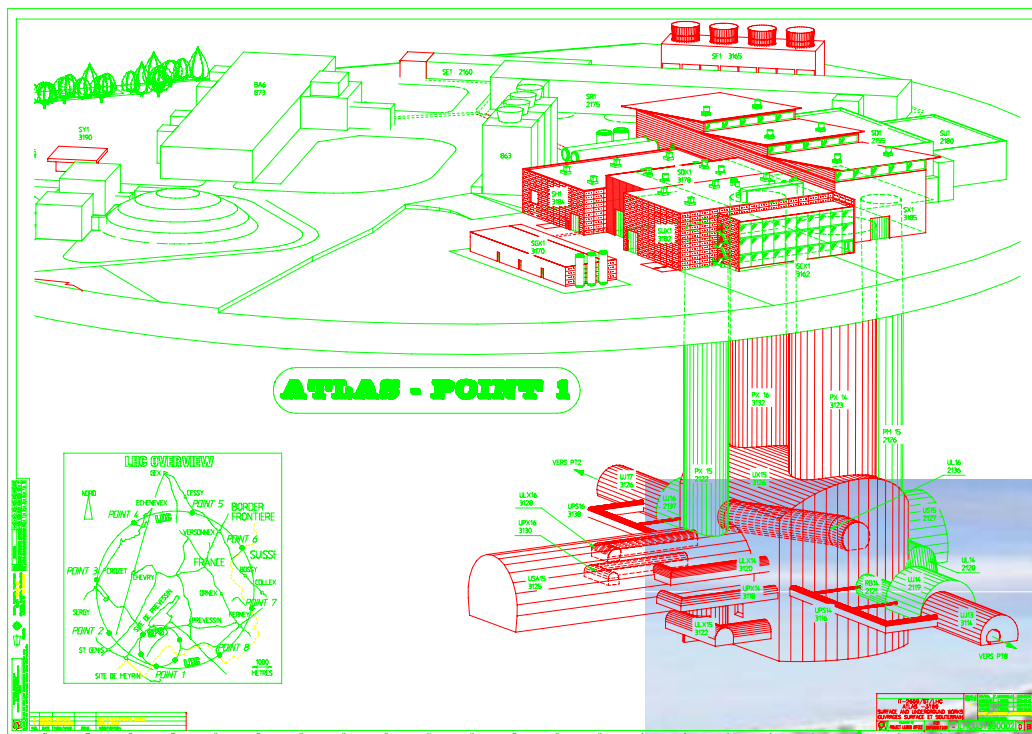
## Letecký pohled na areál ATLASu (PIT\_1)



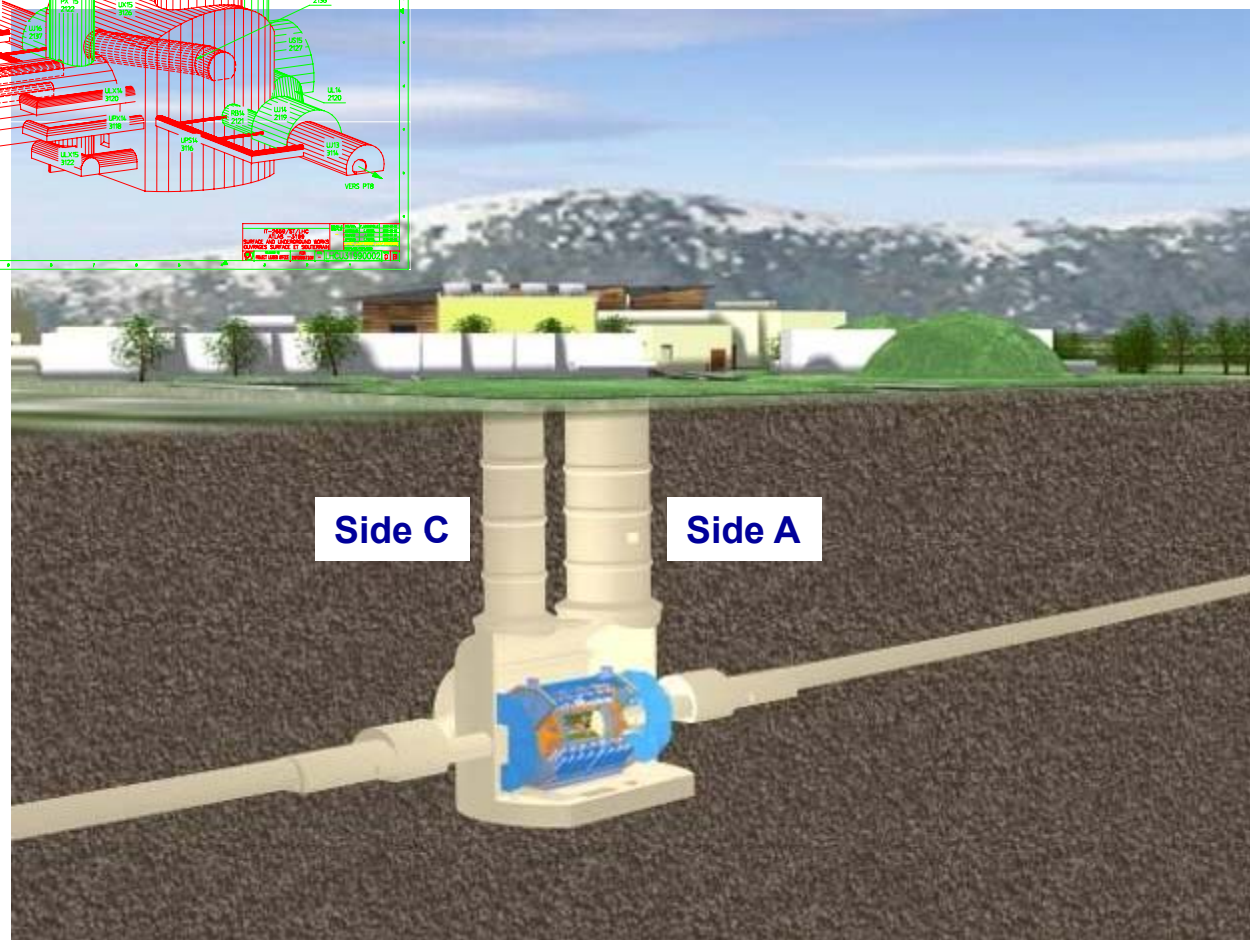
Vlajky

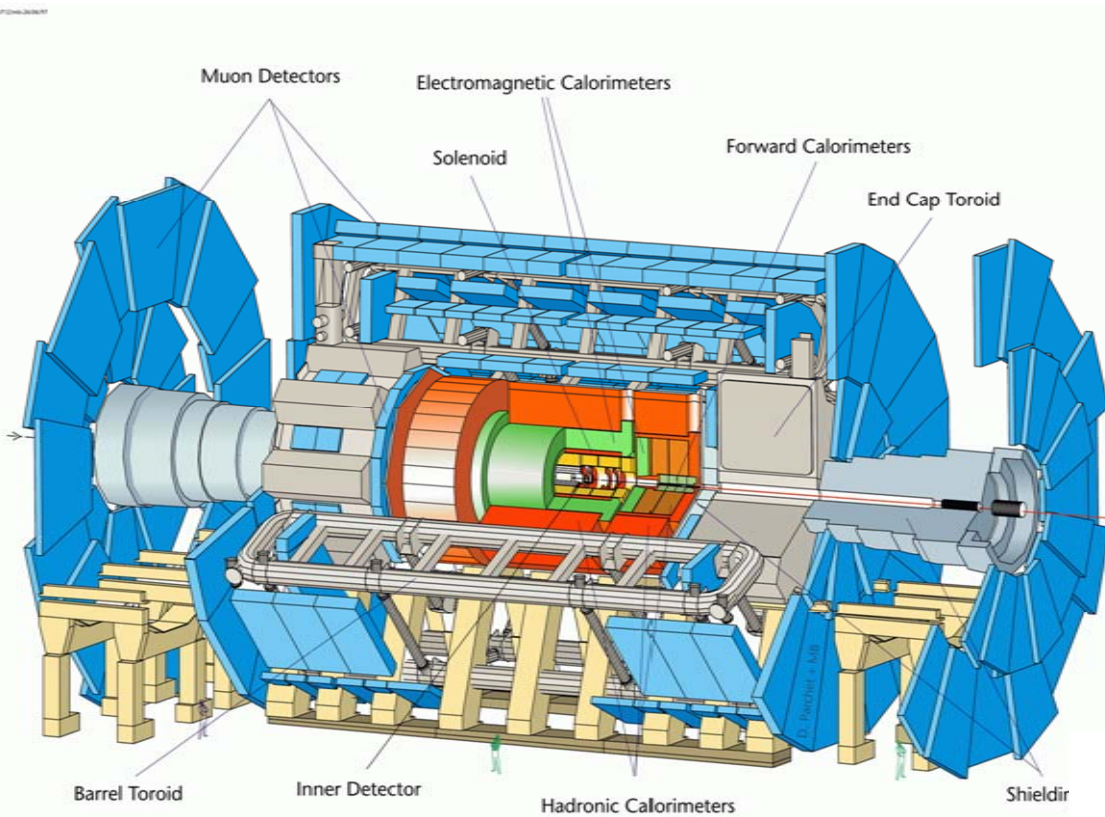
Budova přímo nad podzemní jeskyní

## Podzemní jeskyně a areál šachty č.1 pro ATLAS



**Délka = 55 m**  
**Šířka = 32 m**  
**Výška = 35 m**

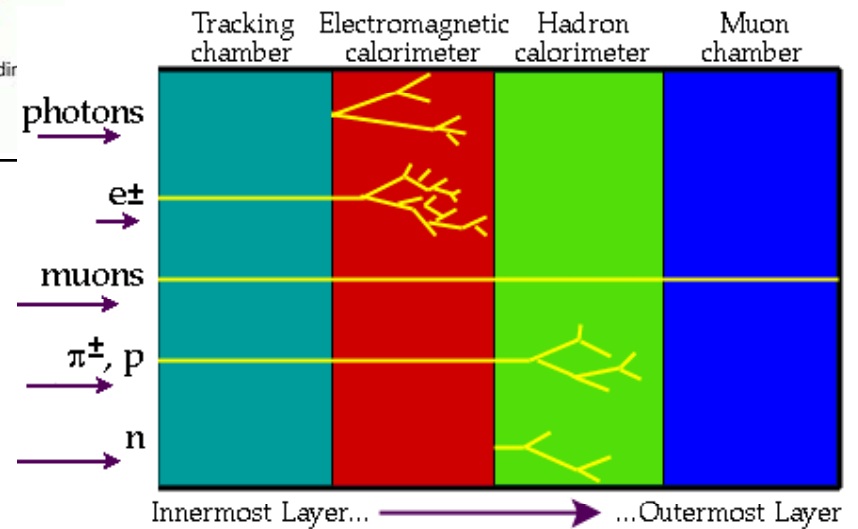




..vysvětlit během prohlídky...  
 .. [: Válec+Disk struktura :]

# ATLAS

- **Tracking ( $|\eta| < 2.5$ ,  $B=2T$ ) :**
  - Si pixels and strips
  - Transition Radiation Detector ( $e/\pi$  separation)
- **Calorimetry ( $|\eta| < 5$ ) :**
  - EM : Pb-LAr
  - HAD: Fe/scintillator (central), Cu/W-LAr (fwd)
- **Muon Spectrometer ( $|\eta| < 2.7$ ) :**
  - air-core toroids with muon chambers

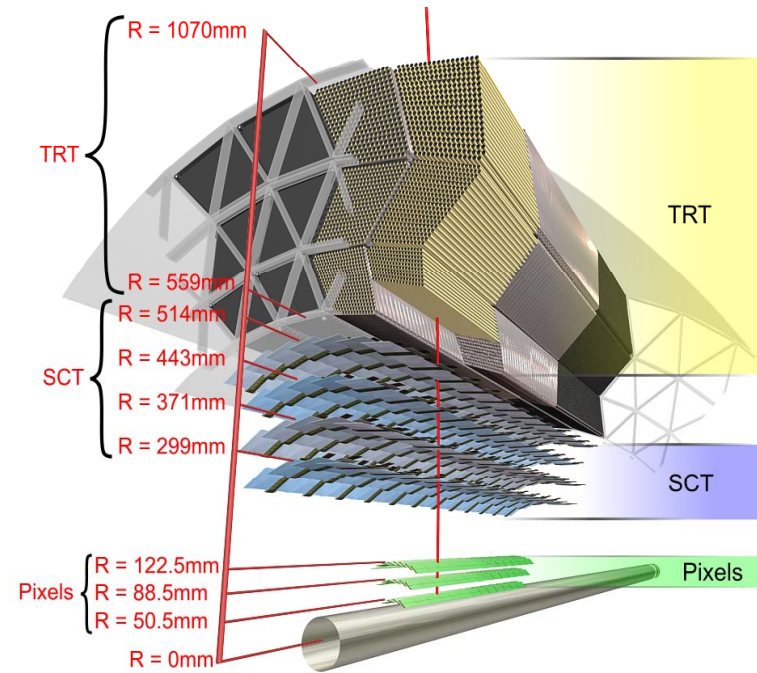
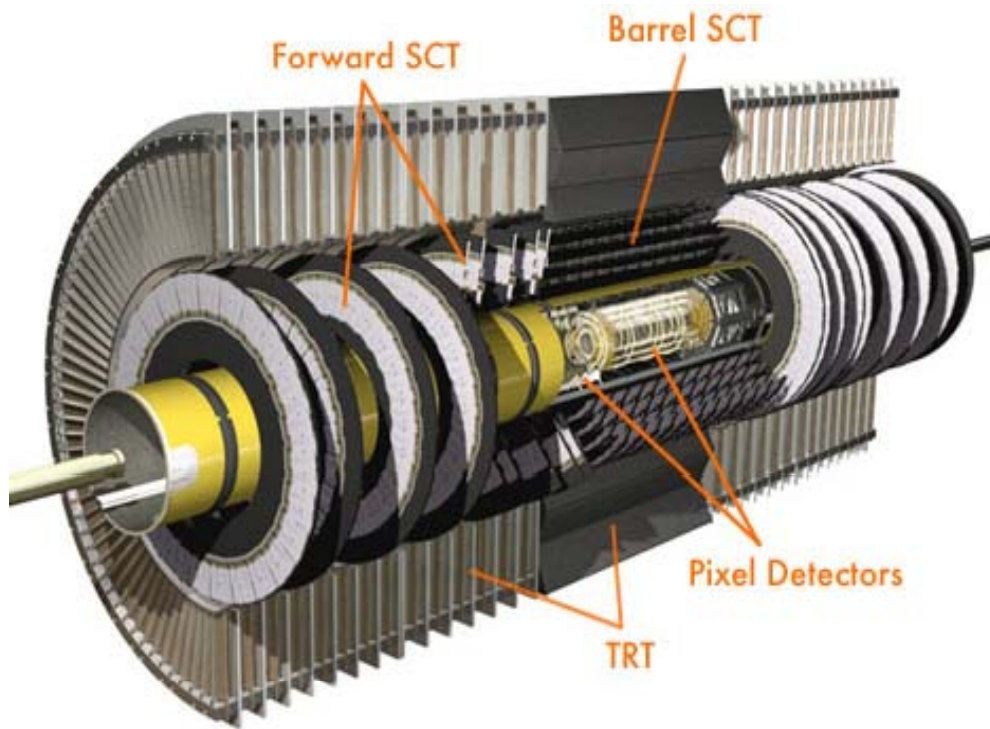


# ATLAS / ID

- Vnitřní detektor (ID = barrel + end cups)
  - 7 přesných (10 $\mu$ m) bodů + ~30 TRT bodů pro rekonstrukci dráhy v mg.poli = hybnost částic, druhotné vrcholy; separace pionu/elektronu
- Tři součásti ID barelu
  - pixely ( 40x500  $\mu$ m) ..... 3 válce
  - stripy ( stereo 80  $\mu$ m) .. 4 válce
  - TRT ( hodně bodů, menší přesnost, IDENTIFIKACE částic )

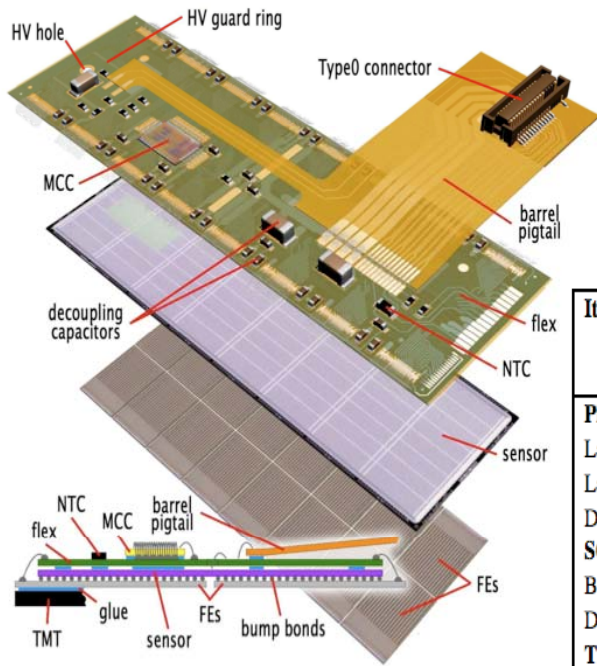


# The Inner Detector



- ✓ All cables and pipes installed, SCT and TRT fully connected
- ✓ Pixel detector cables and pipes installed, pixel connection waiting for SCT sign off

# ID Si-sensors

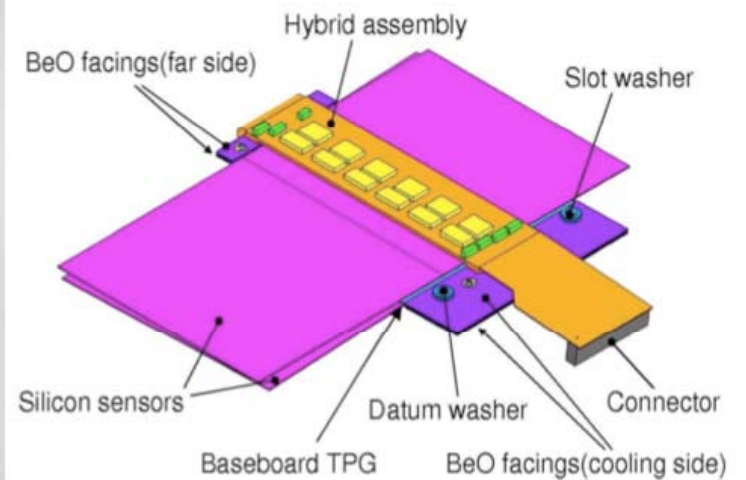
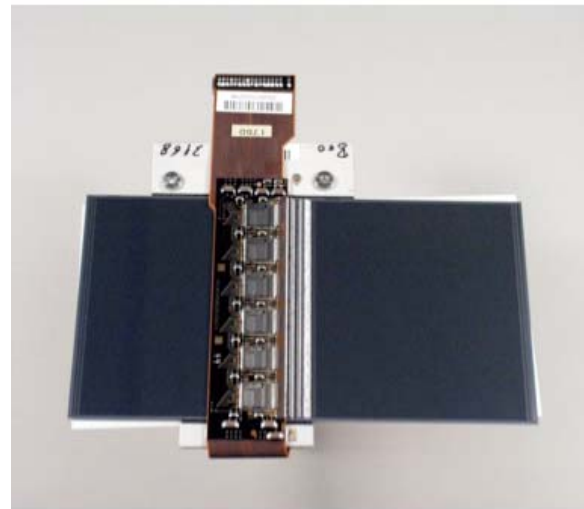
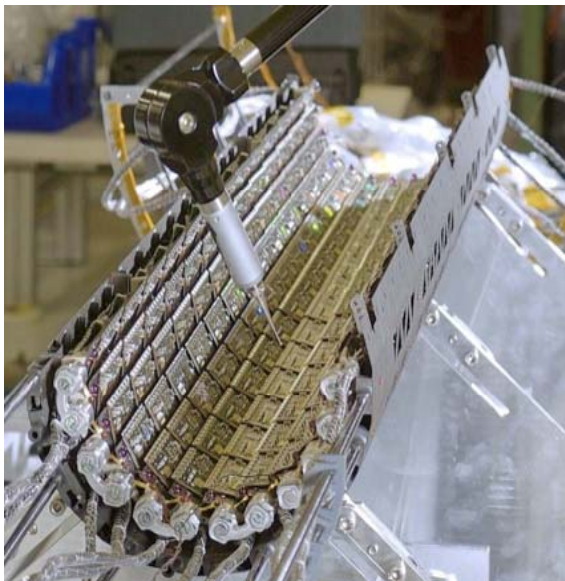


Item	Intrinsic accuracy ( $\mu\text{m}$ )	Alignment tolerances ( $\mu\text{m}$ )		
		Radial	Axial z	Azimuth $R\phi$
<b>Pixel</b>				
Layer 0	10 ( $R\phi$ ) 115 (z)	10	20	7
Layers 1 and 2	10 ( $R\phi$ ) 115 (z)	20	20	7
Disks	10 ( $R\phi$ ) 115 (R)	20	100	7
<b>SCT</b>				
Barrel	17 ( $R\phi$ ) 580 (z) <sup>1</sup>	100	50	12
Disks	17 ( $R\phi$ ) 580 (R) <sup>1</sup>	50	200	12
<b>TRT</b>	130 (drift time)			30 <sup>2</sup>



*1744 modules, min 50x400  $\mu\text{m}^2$*

*4088 modules, 80  $\mu\text{m}$  micro-strips*



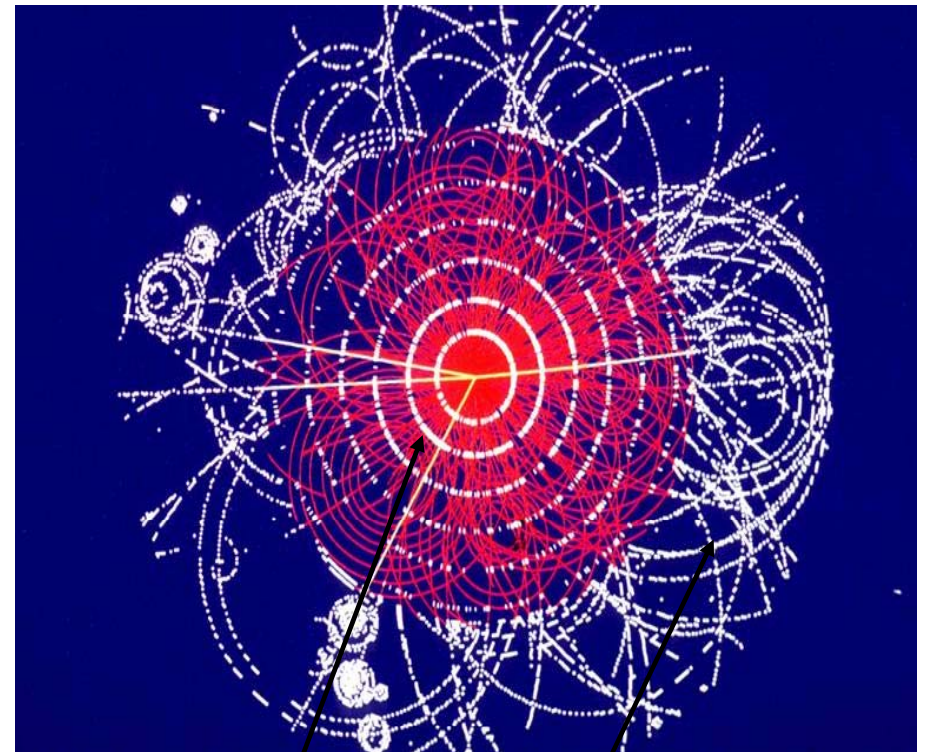
# The TRT (Transition Radiation Tracker)

The diagram illustrates the internal structure of a TRT straw tube. A central **wire+** is surrounded by a **GAS mixture Xe/CO<sub>2</sub>/O<sub>2</sub> (70/27/3)**. The straw is filled with **Foils** (indicated by a green bar at the bottom). A **Cathode straw** is shown on the left, and a **Barrel end-cap** is shown on the right. The straw is connected to a high voltage source (**HV -**) and an **Anode**. The diagram also shows **charged particles** entering the straw and a **Photon** being emitted. The condition  $\epsilon_1, \omega_1 < \epsilon_2, \omega_2$  is noted near the photon emission point.

The photographs show the physical components of the TRT. The top-left image shows a **radiator** structure. The top-right image shows the **Barrel end-cap** and **Polypropylene foils (15 μ)**. The bottom-right image shows a close-up of the straw tube structure.

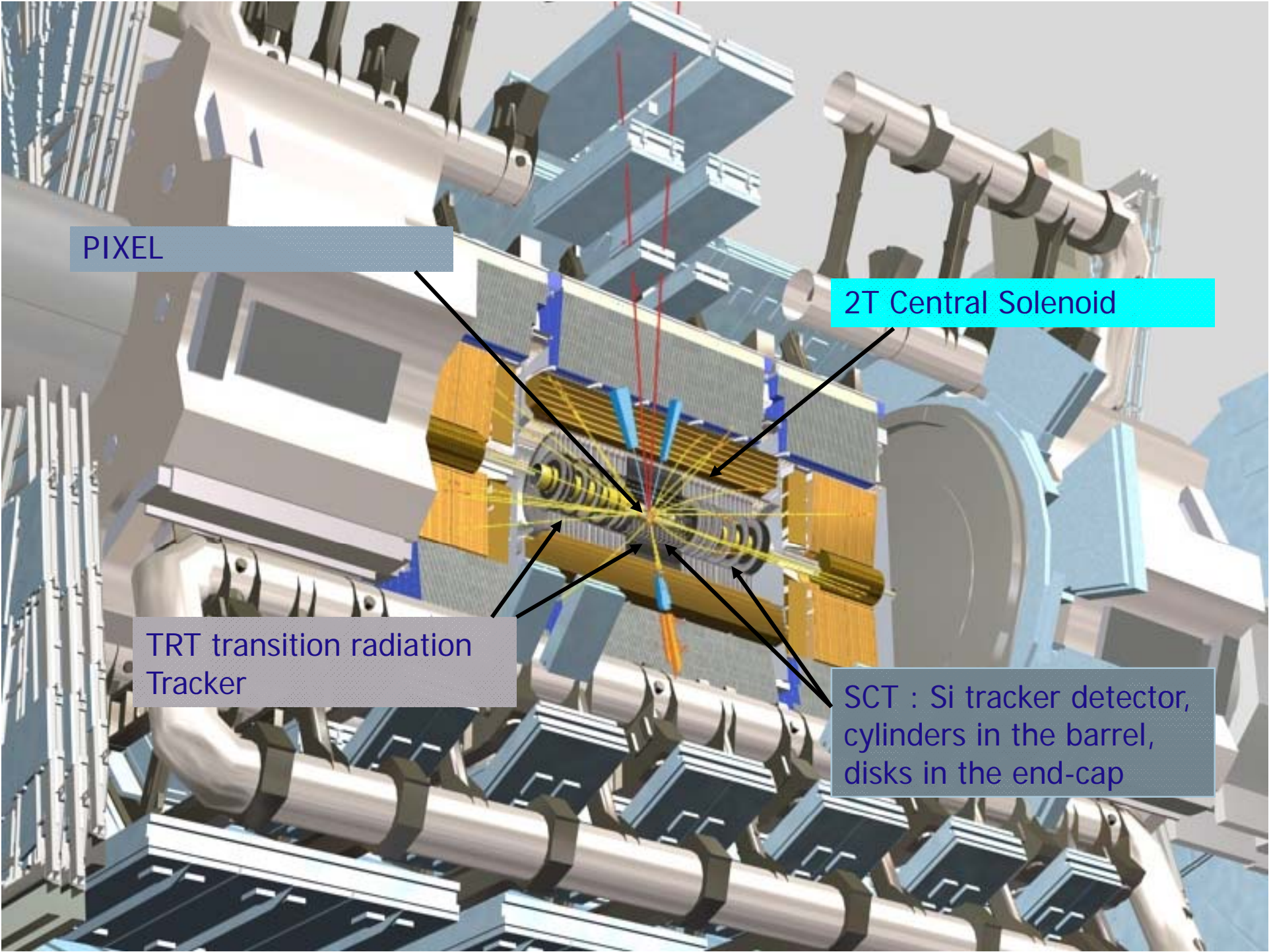
# The Inner Detector (ID) challenge

- *Patter recognition challenging: high track density*
  - ✓ 7 precision points/track (3 pixel+4 SCT)
  - ✓ Each r- $\phi$  and z (40 mrad stereo in SCT)
  - ✓ Up to 36 TRT straw hits
  - ✓ Continuous tracking... optimised for tracking performance, not TR e-
  - ✓  $\pi$  rejection up to 100 for 80% e-efficiency
- Needs to operate up to an integrated dose between 10 and 60 Mrad
- Hermetic coverage up to  $|\eta|=2.5$
- B-tagging capability



*Pixel, SCT  
precision tracking*

*TRT continuous  
tracking*



PIXEL

2T Central Solenoid

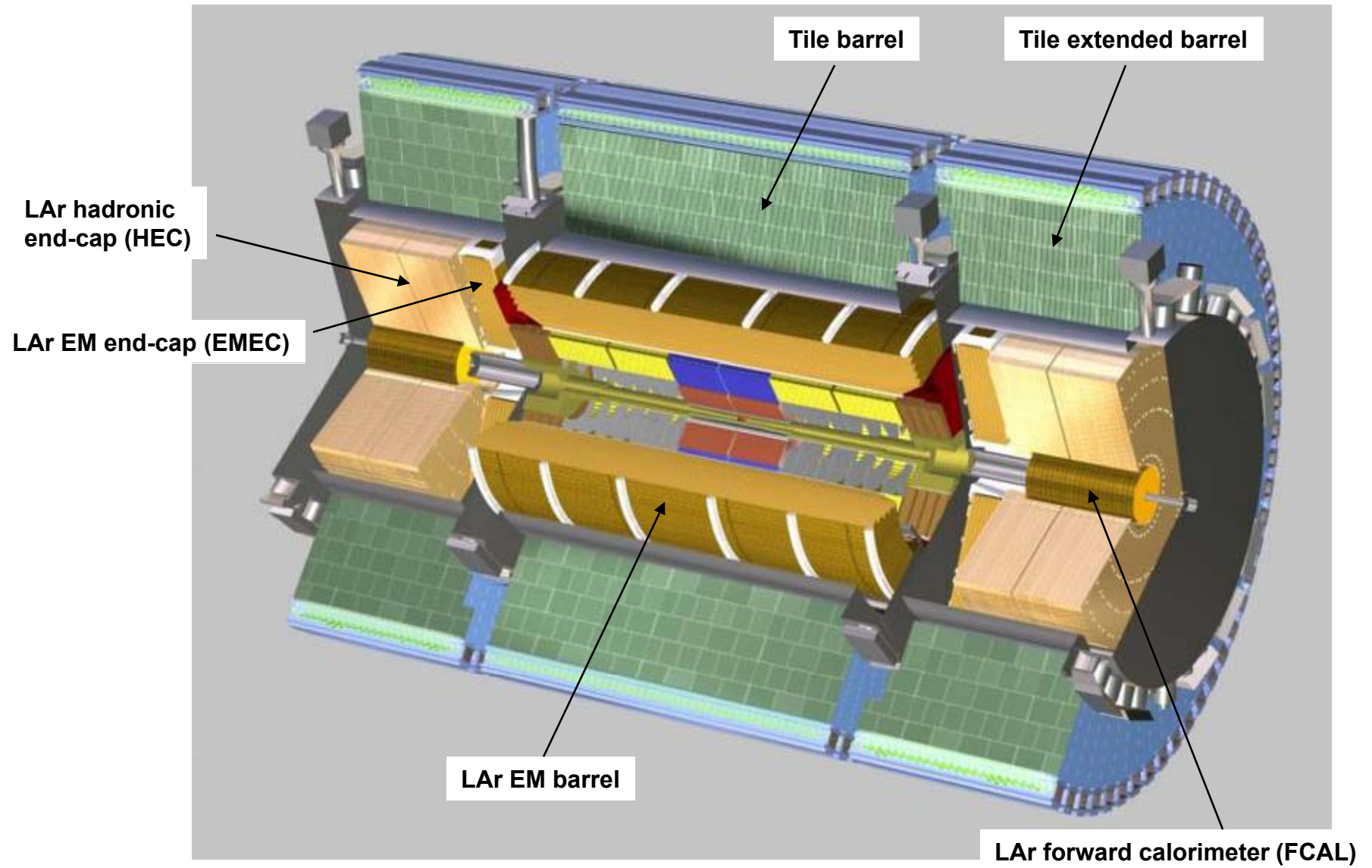
TRT transition radiation Tracker

SCT : Si tracker detector, cylinders in the barrel, disks in the end-cap

# Kalorimetry v ATLASu

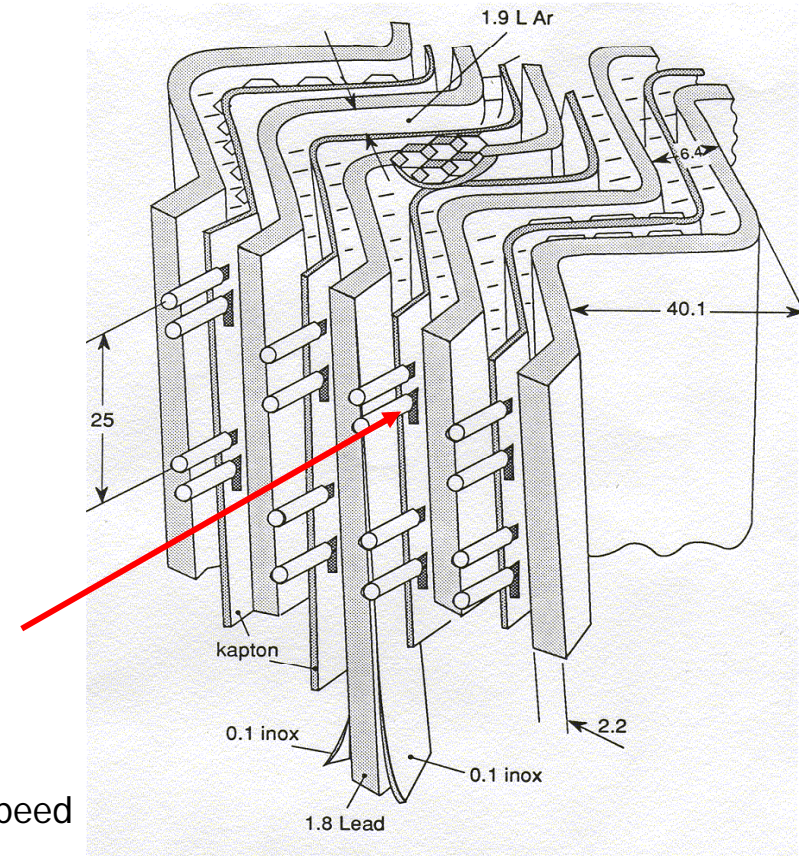
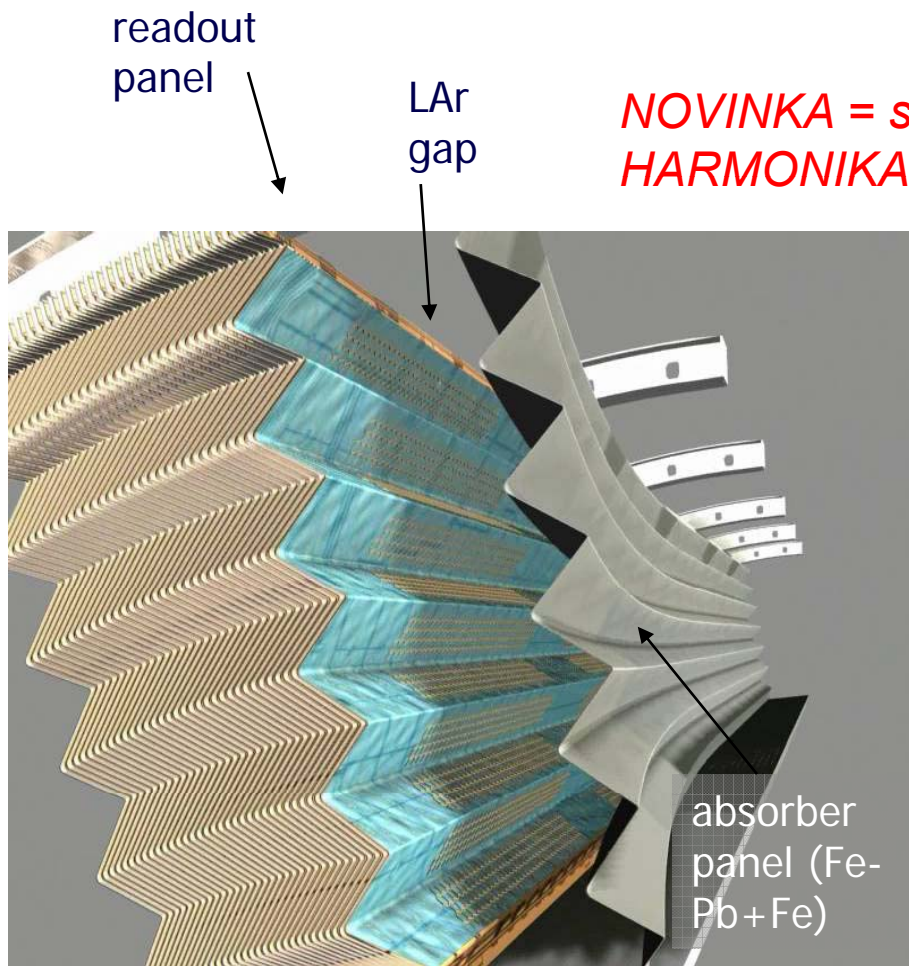
- Úkoly
  - Pohlcují všechny částice kromě mionů a neutrin
  - Měří jejich energii vzorkováním:  
absorbátor = W, Pb, Cu, Fe +  
aktivní část = Kapalný Argon(LArg), scintilátor
  - Rychlá informace z nich umožňuje spuštění celého ATLASu (trigger L1CALO)
  - Umožňují identifikaci e/jety/fotony, separaci neutrálního pionu/fotonu
- Dělení
  - válcový / diskový (EC) / dopředný (FCAL)
  - elektromagnetický (EM) / hadronový (H)
  - Larg ( 3 kryostaty ) / Tile
- Průchod všech kabelů, kapalin,.. pro vnitřní detektor rozděljuje válcovou část na fixní „barrel“ a pohyblivé „extended barrels“

## *LAr and Tile Calorimeters*



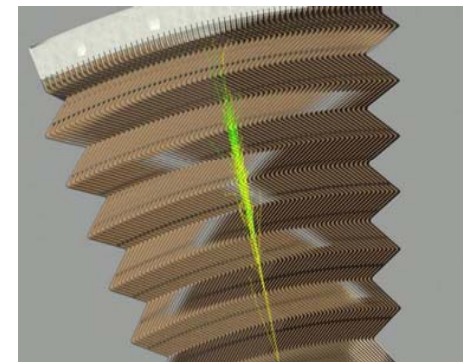
# Electromagnetic Calorimeters

LAr sampling calorimeter  
accordion geometry

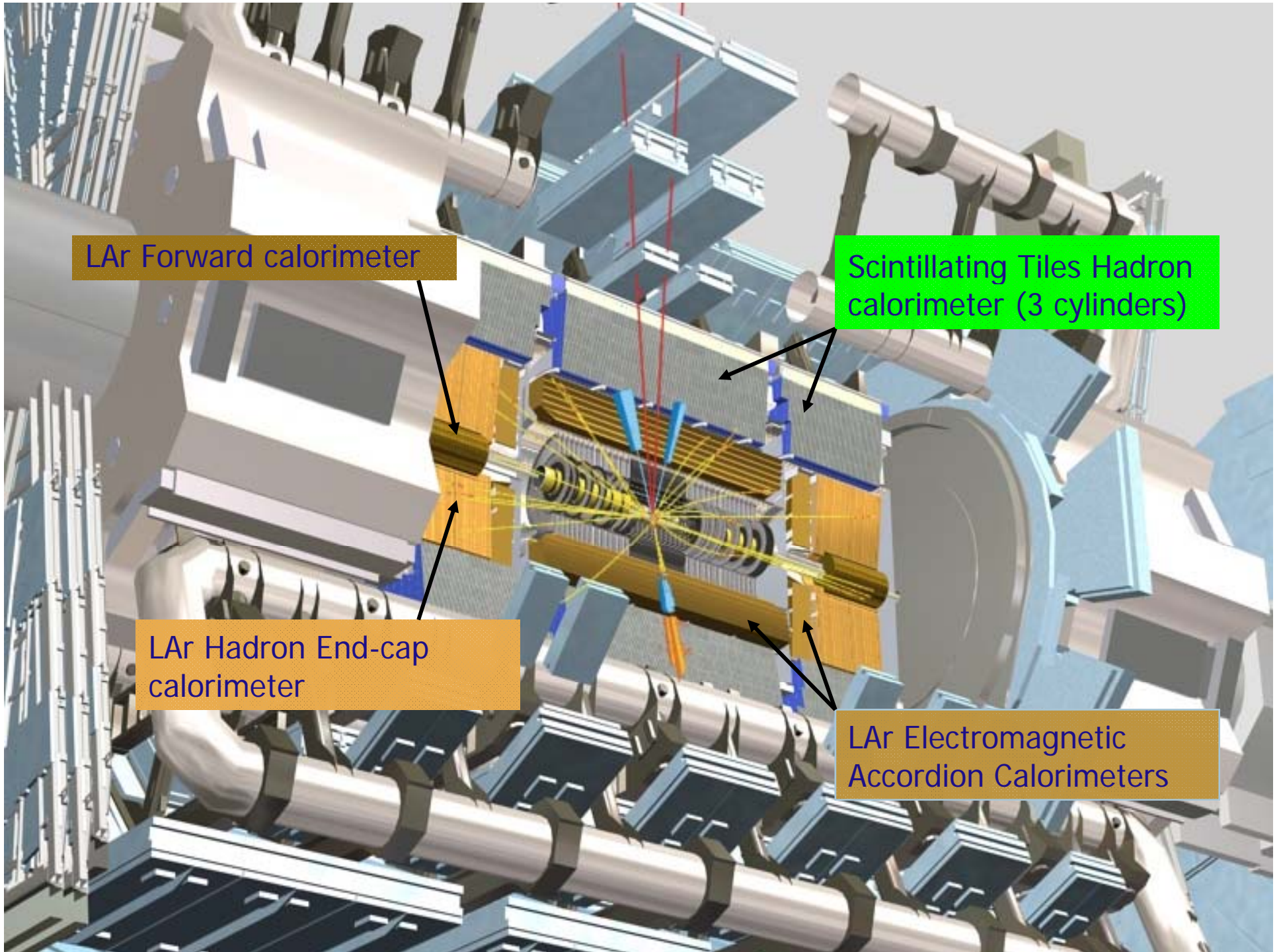


Why ?

- readout speed
- radiation hard
- electronically inter-calibrated
- allows longitudinal segmentation
- hermetic in phi
- good energy, angular resolution







LAr Forward calorimeter

Scintillating Tiles Hadron calorimeter (3 cylinders)

LAr Hadron End-cap calorimeter

LAr Electromagnetic Accordion Calorimeters



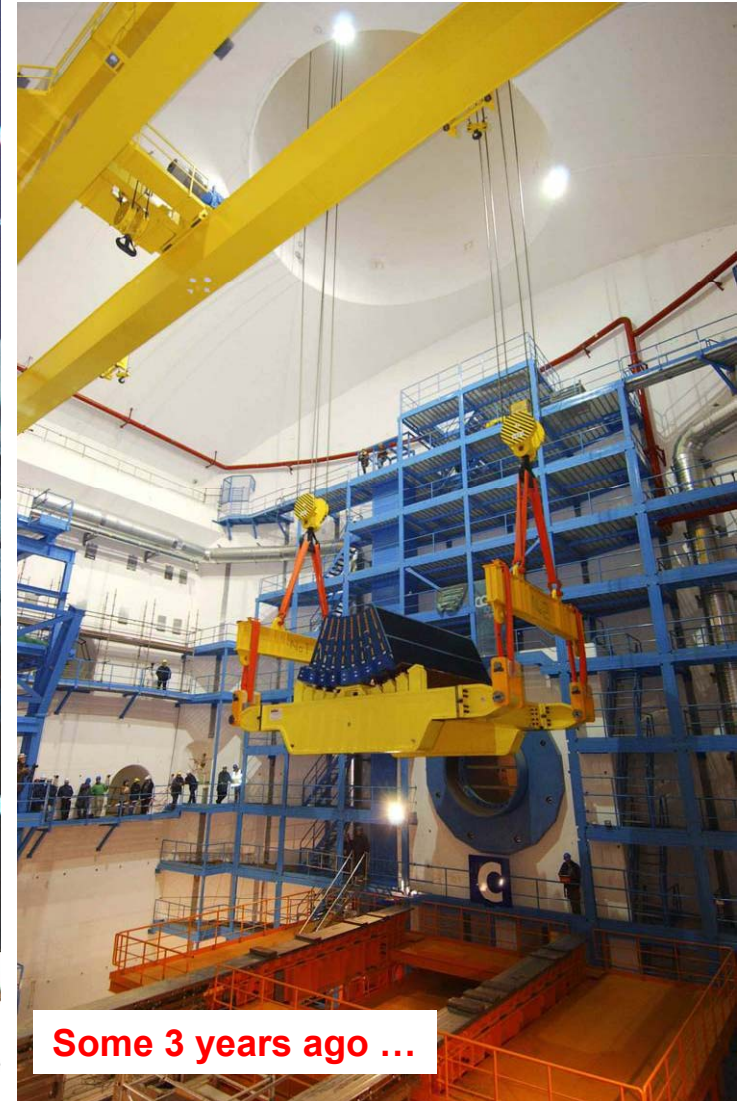
Some 8 years ago ...



Some 7 years ago ...

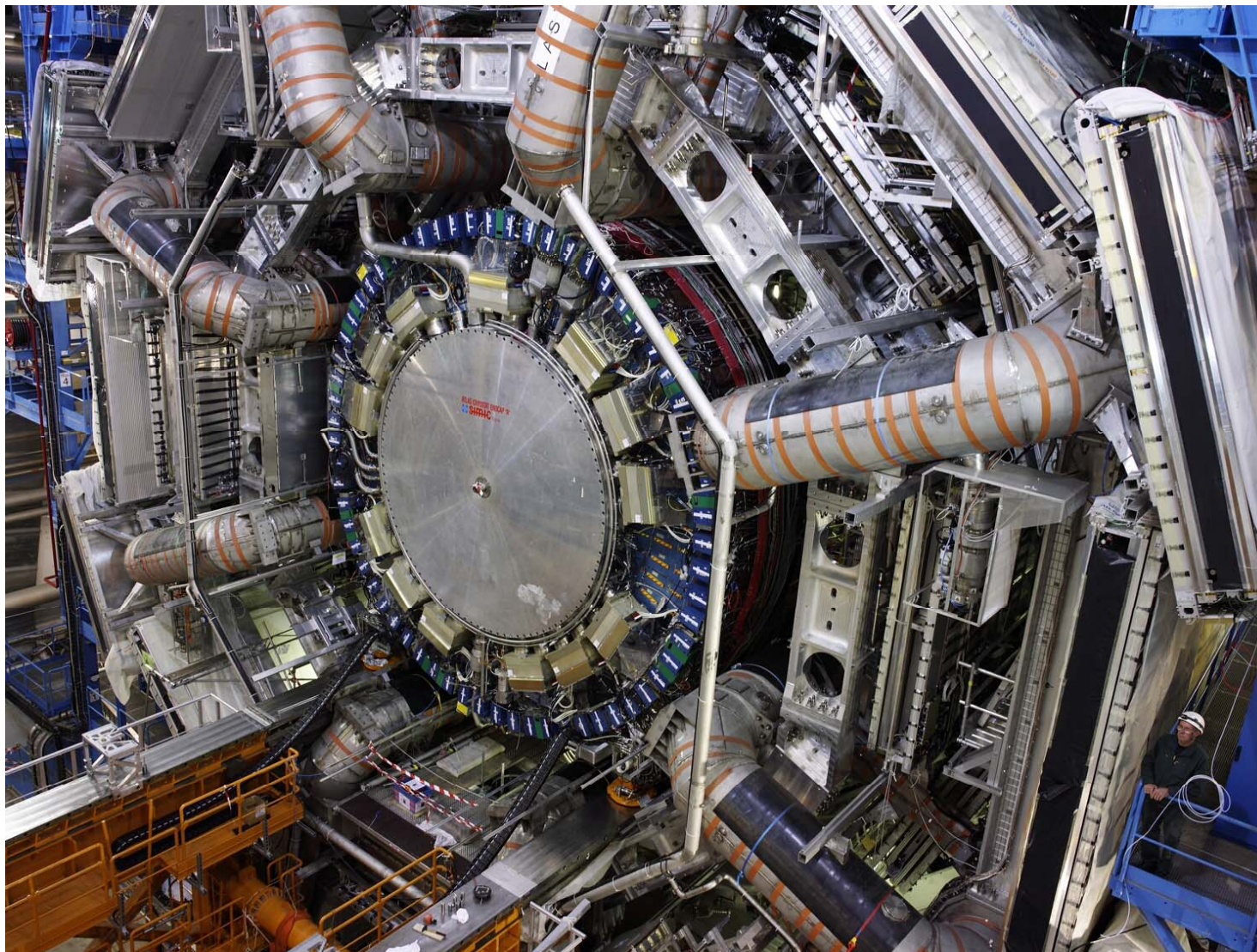
## Kalorimetr TileCAL

*15 years of fruitful collaboration  
with our Czech friends... !*



Some 3 years ago ...

Kryostat s diskovými ( EM+H) a dopřednými kalorimetry během zasunování



**ATLAS side A (with the calorimeter end-cap partially inserted, the LAr end-cap is filled with LAr)**

# ATLAS / mionový spektrometr

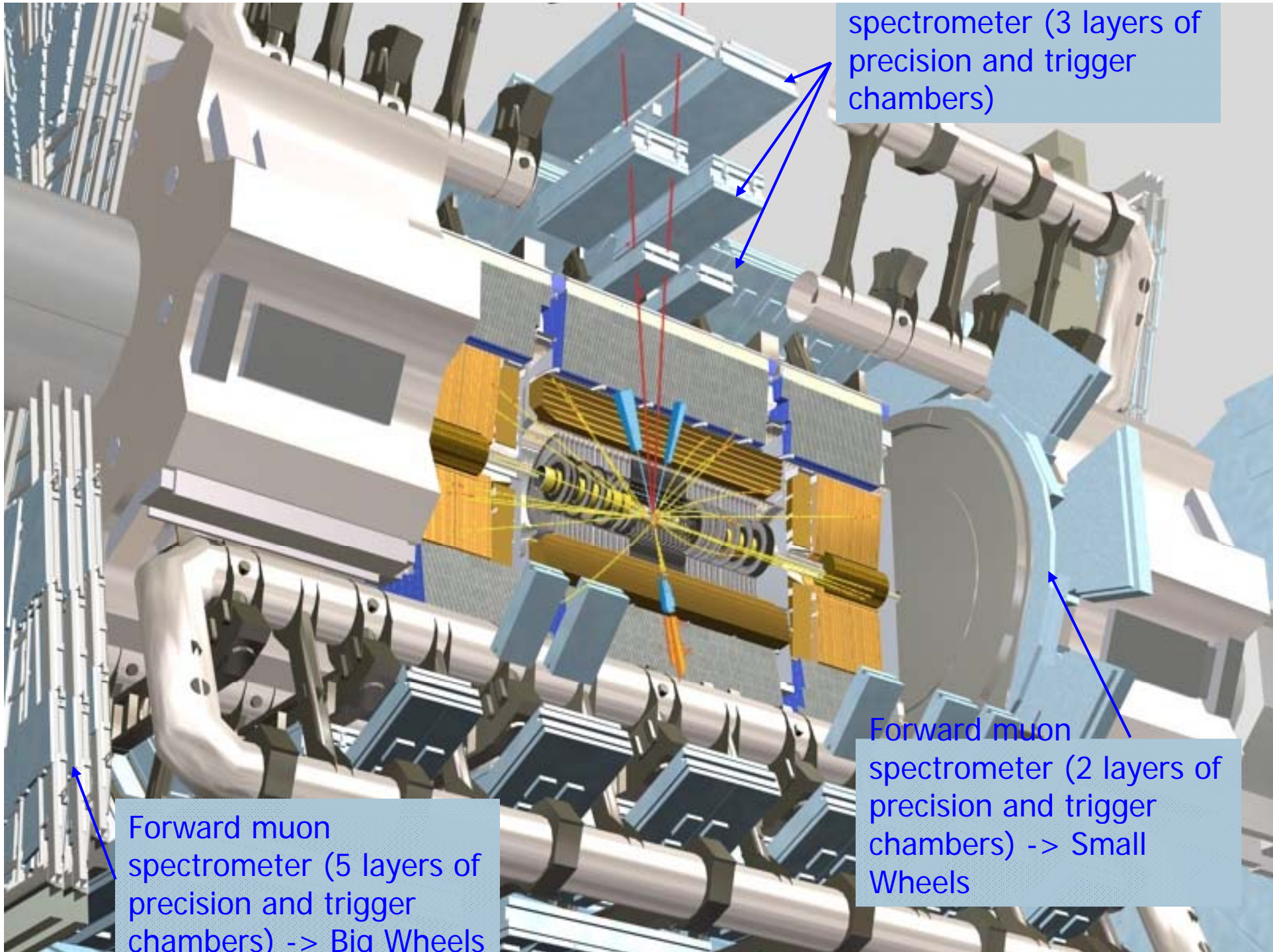
- Úkoly
  - Rychlá informace z něho umožňuje spuštění celého ATLASu (LVL1 muon trigger)
  - Měří ( i samostatně) velmi přesně hybnost mionů = rekonstrukce dráhy v mg. poli
- Dělení
  - válcový =vnitřní, střední a vnější vrstva / diskový = malá a velká kola + fixní komory na zdech jeskyně
  - přesné měření souřadnice (80um) = MDT + CSC / přesné měření času (4ns) = RPC, TGC

MDT = monitorované driftové trubky

RPC = Resistive Plate Chamber

CSC = Cathode Strip Chambers

TGC = Thin Gap Chambers

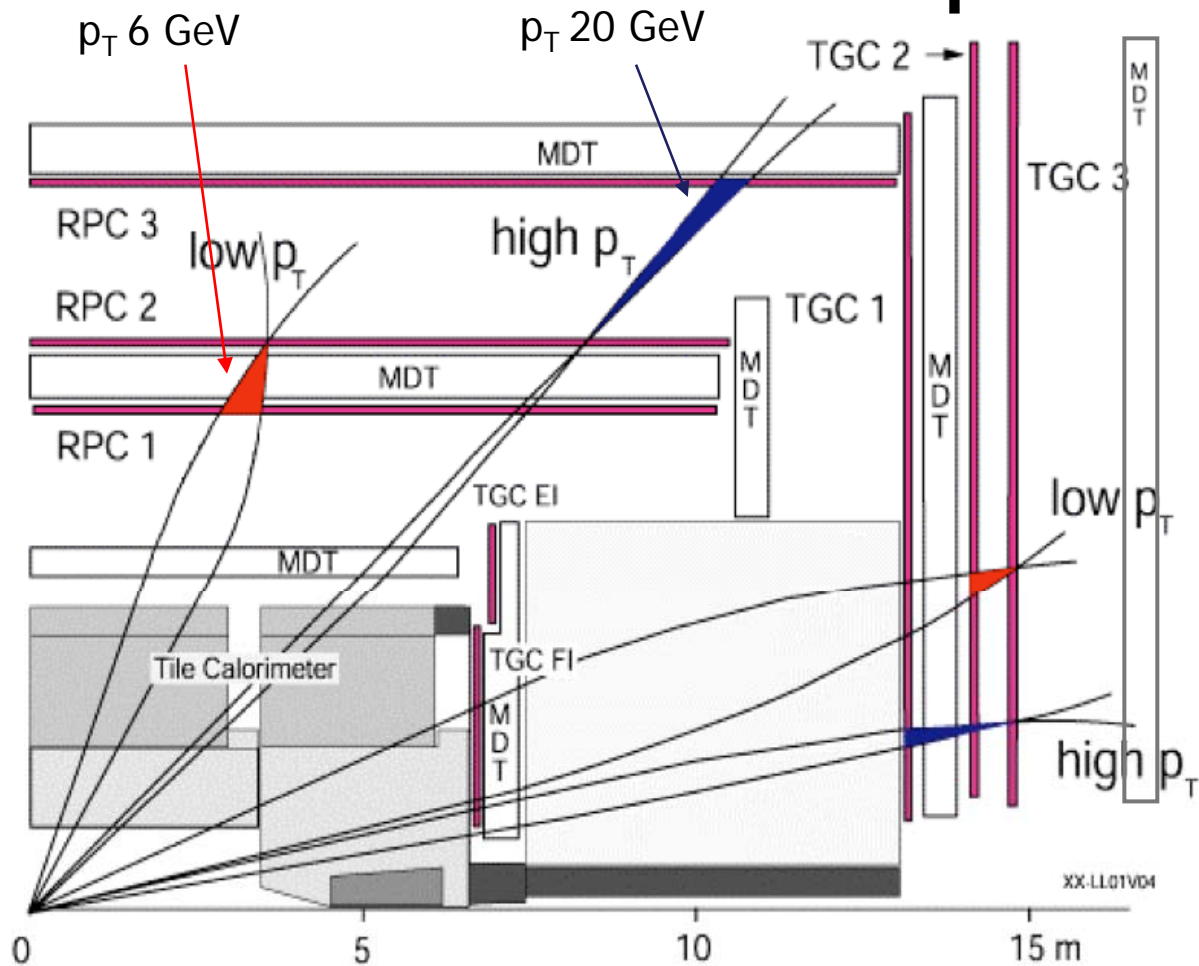


spectrometer (3 layers of precision and trigger chambers)

Forward muon spectrometer (5 layers of precision and trigger chambers) -> Big Wheels

Forward muon spectrometer (2 layers of precision and trigger chambers) -> Small Wheels

# The Muon Spectrometer



## Precision chambers :

MDT : monitored drift tubes

1108 chambers, 339 k channels

CSC : cathode strip chambers

32 chambers, 31 k channels

## Trigger chambers (LVL1):

RPC : resistive plate chambers

560 chambers, 359 k channels

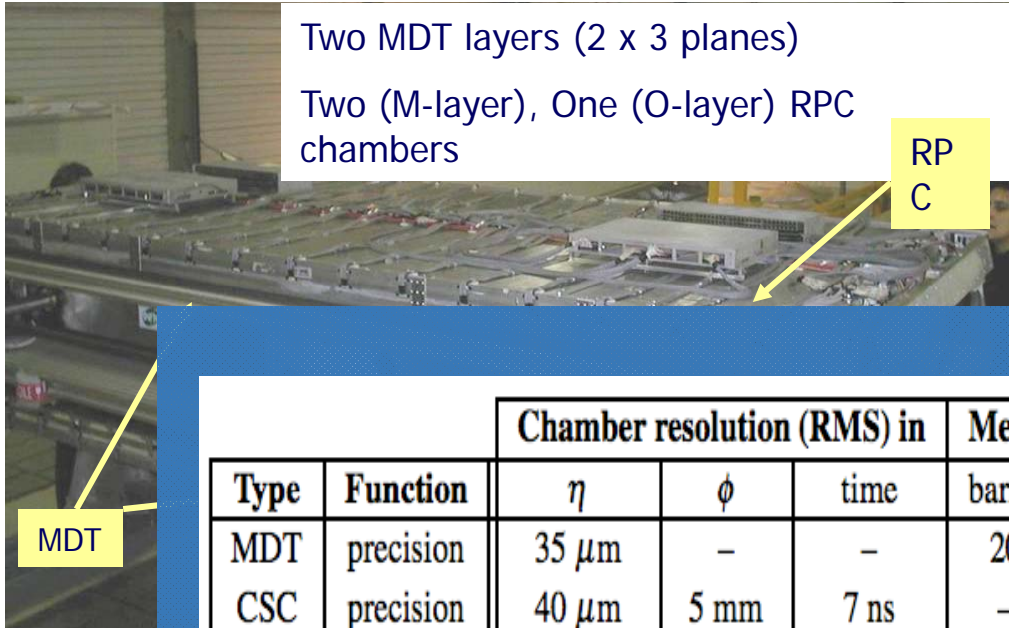
TGC : thin gap chambers

3588 chambers, 318 k channels

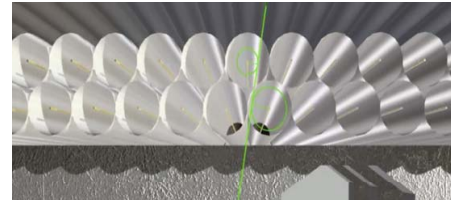
$\Delta p_T / p_T \sim 3\%$  for  $p_T = 10\text{--}100$  GeV  
in standalone mode

Total :  $\sim 12'000$  m<sup>2</sup>,  $\sim 1.1$  M channels

# Barrel Stations



Two MDT layers (2 x 3 planes)  
Two (M-layer), One (O-layer) RPC chambers



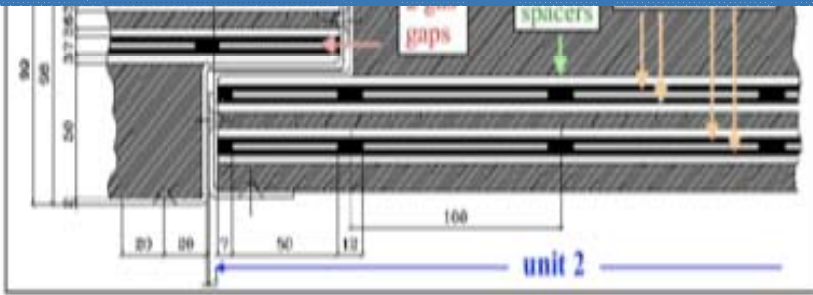
3 layers of tubes  
(4 layers inner ch.)

Type	Function	Chamber resolution (RMS) in			Measurements/track		Number of	
		$\eta$	$\phi$	time	barrel	end-cap	chambers	channels
MDT	precision	35 $\mu\text{m}$	–	–	20	20	1108 (1172)	339k (354k)
CSC	precision	40 $\mu\text{m}$	5 mm	7 ns	–	4	32	30.7k
RPC	trigger	10 mm	10 mm	1.5 ns	6	–	560 (622)	359k (373k)
TGC	trigger	3–12 mm	8 mm	4 ns	–	9	3588	318k

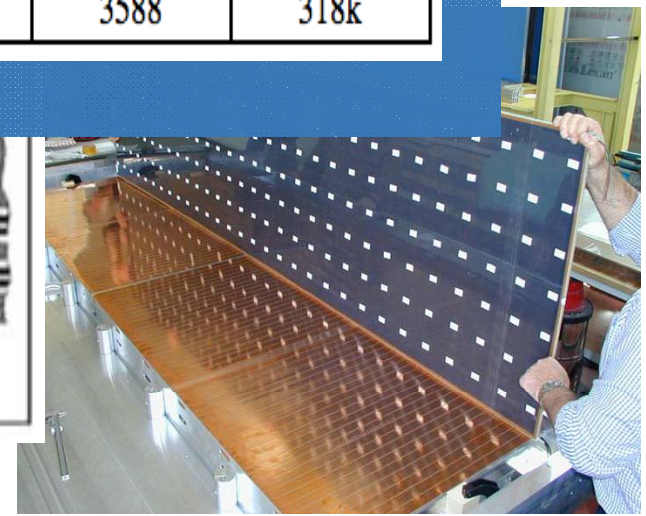
s of  
/7e  
0 $\mu\text{m}$ )

Each F  
consists of 2 times  
2 gas volumes  
(units)

Each unit delivers  
2 coordinates ( $\eta$ ,  $\phi$ )



Trigger chambers (RPC) rate  
capability  $\sim 1 \text{ kHz/cm}^2$



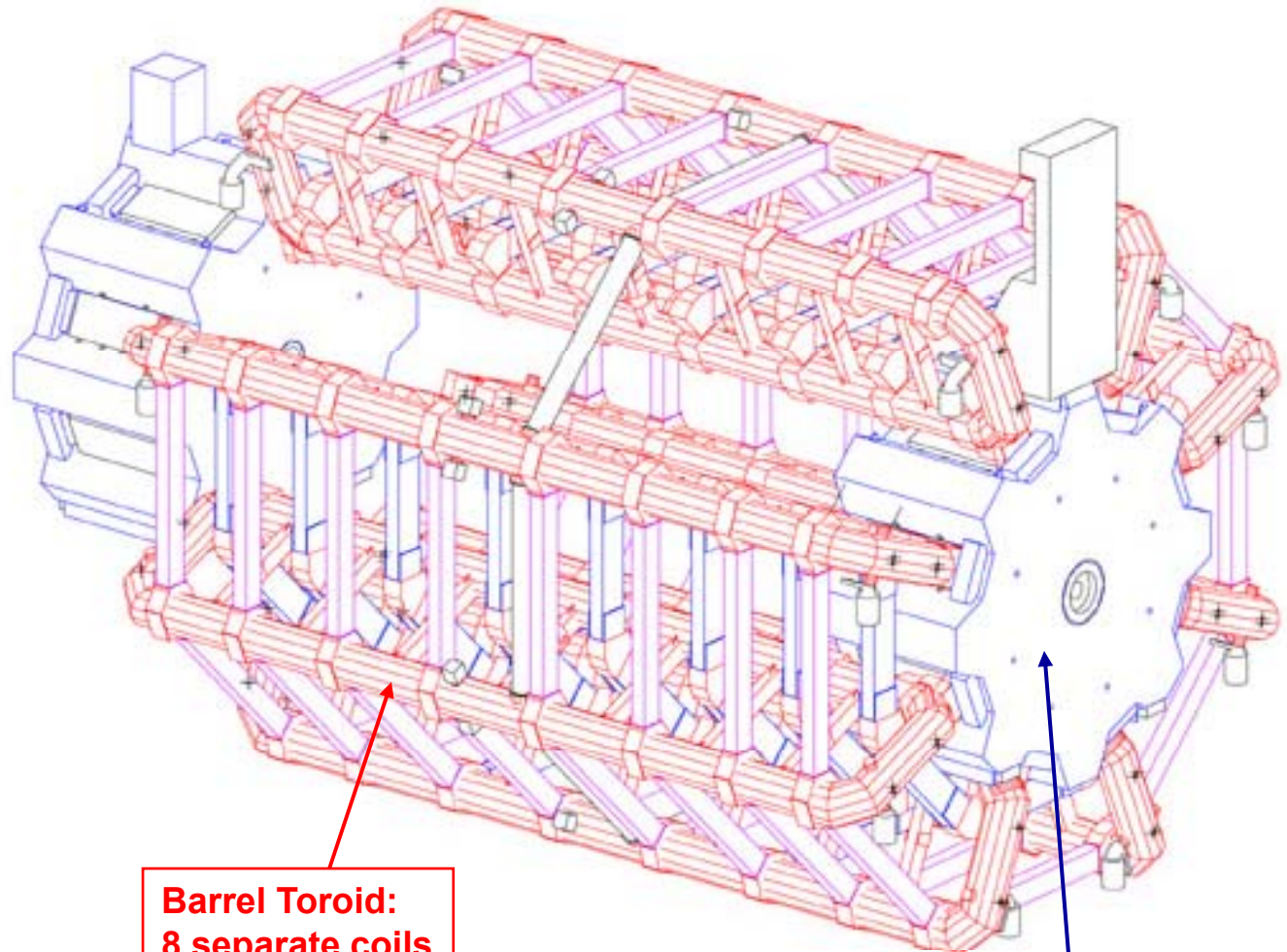
## Toroid system

### Barrel Toroid parameters

25.3 m length  
20.1 m outer diameter  
8 coils  
1.08 GJ stored energy  
370 tons cold mass  
830 tons weight  
4 T on superconductor  
56 km Al/NbTi/Cu conductor  
20.5 kA nominal current  
4.7 K working point

### End-Cap Toroid parameters

5.0 m axial length  
10.7 m outer diameter  
2x8 coils  
2x0.25 GJ stored energy  
2x160 tons cold mass  
2x240 tons weight  
4 T on superconductor  
2x13 km Al/NbTi/Cu conductor  
20.5 kA nominal current  
4.7 K working point

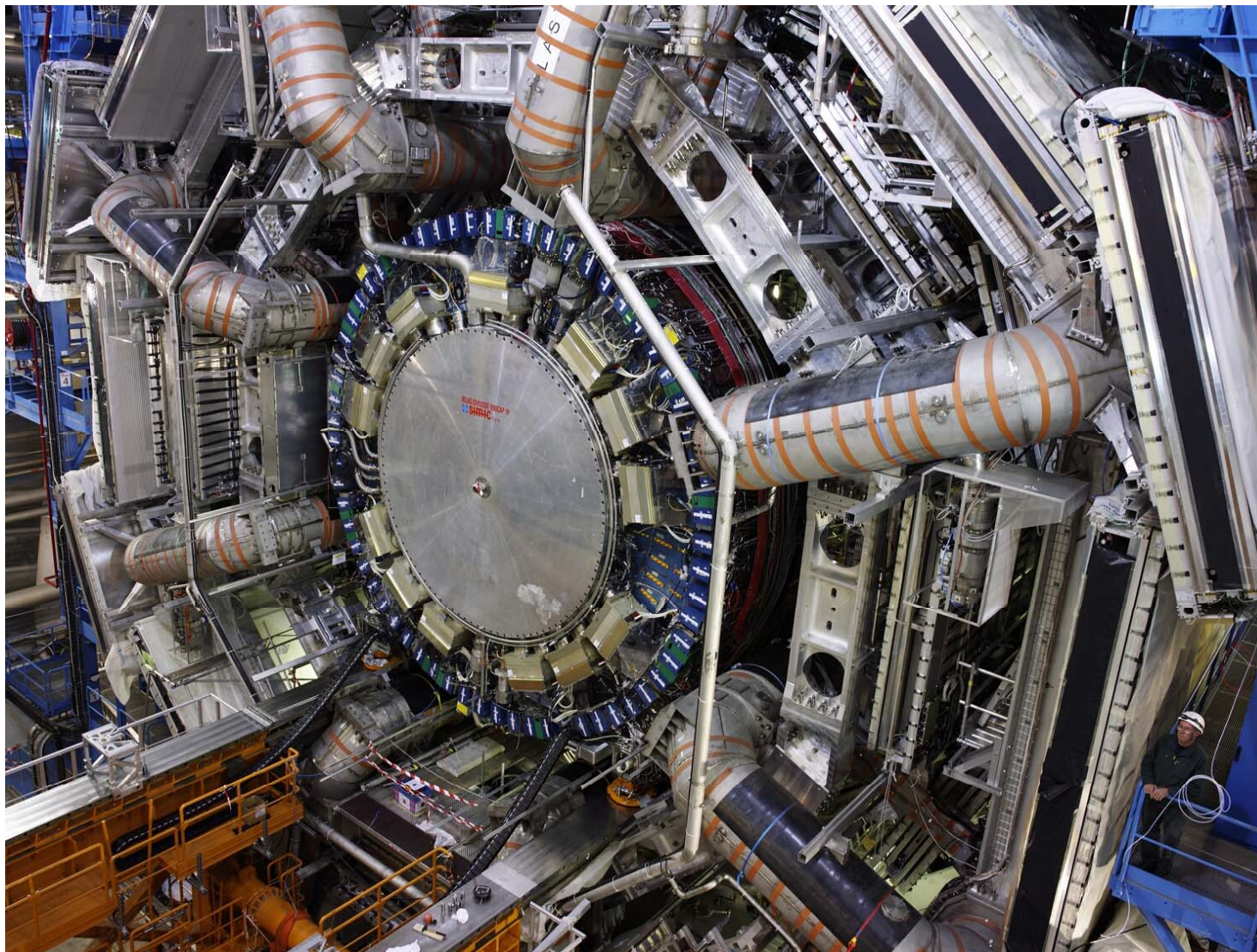


**Barrel Toroid:  
8 separate coils**

**End-Cap Toroid:  
8 coils in a common cryostat**



Toroidální magnet: čela sedmi z osmi cívek jsou dobře vidět



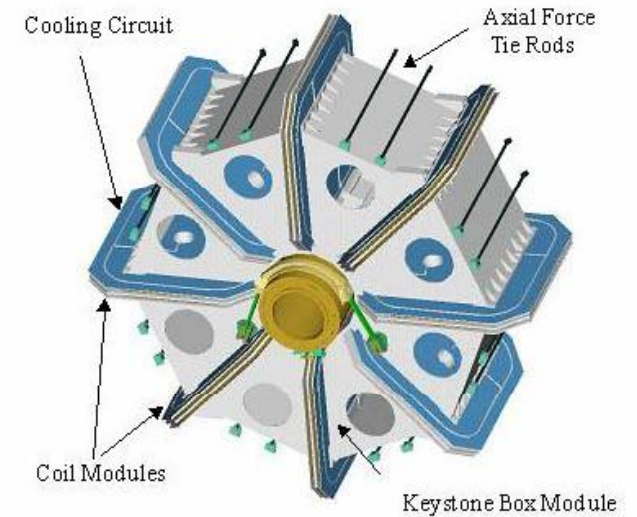
**ATLAS side A (with the calorimeter end-cap partially inserted, the LAr end-cap is filled with LAr)**

## End-Cap Toroids

All components were fabricated in industry, and the assembly done at CERN

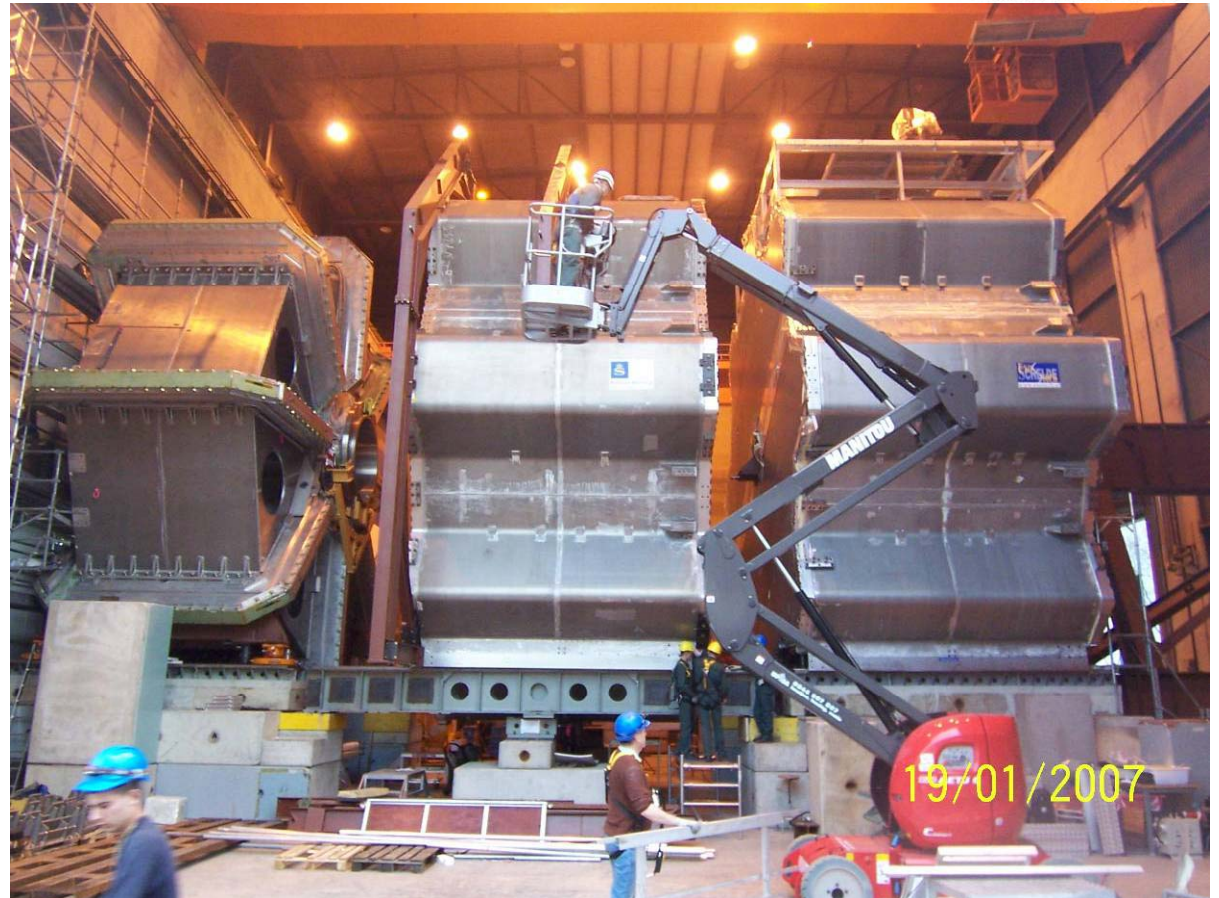
The ECTs are tested at 80 K on the surface, before installation and excitation tests in the cavern

The first ECT will move to the pit in June 2007, the second one in July 2007



*Uzavření magnetického  
pole v podstavách  
Válce toroidálního magnetu*

The picture shows the first of the two ECT cold masses inserted into the vacuum vessel, and the second one assembled as well





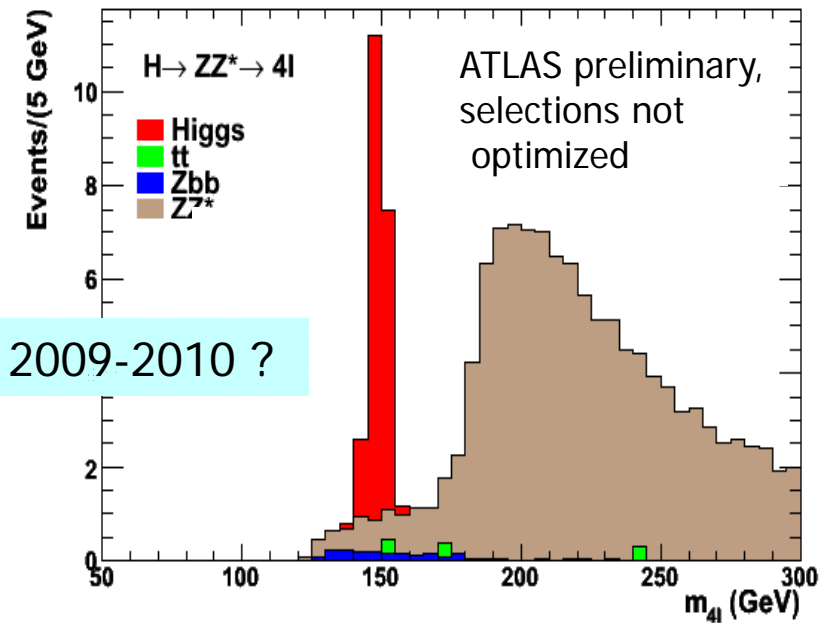
# Měření mionů / hmoty Higgse

- Průhyb dráhy mionu ( $E \sim 1 \text{ TeV}$ ) v mg.poli (4T) = pouze 500  $\mu\text{m}$   
+ rekonstrukce hmoty Higgse:  
potřebujeme přesnost měření průhybu alespoň 50 $\mu\text{m}$
- Chybu ovlivňuje:
  - neurčitost při měření souřadnice pomocí MDT
    - Testy s mionovými svazky na povrchu ukázaly dostatečnou přesnost
  - znalost vzájemné polohy komor
    - ( laser, zrcadla + CCD = RASNIK systém měří neustále aktuální polohu)  
=> chyba 20 $\mu\text{m}$
  - znalost průběhu magnetického pole, požadavek na odchylky  $< 1$  až 2 mT
    - Hallové sondy měří s přesností 0,5mT z měření se nejdříve určí přesná poloha cívek a pole se dopočítá v celém objemu
    - Procedura vyzkoušena, čeká se na kompletní test magnetů v uzavřeném ATLASu v dubnu

# $M_H > 130 \dots$ is easier

$m_H > 130$  GeV :  $H \rightarrow ZZ^{(*)} \rightarrow 4l$  (gold-plated),  $H \rightarrow WW^{(*)} \rightarrow l\nu l\nu$

$H \rightarrow ZZ^* \rightarrow 4l, 10 \text{ fb}^{-1}$



May be observed with  $3\text{-}4 \text{ fb}^{-1}$

$H \rightarrow 4l$  : low-rate but very clean :

narrow mass peak, small background

• requires:

~ 90%  $e, \mu$  efficiency at low  $p_T$

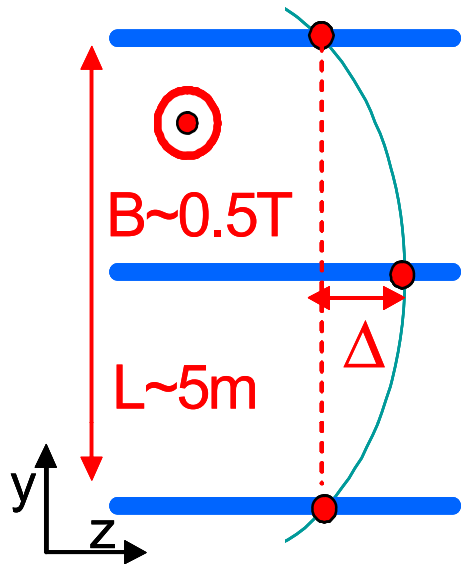
$\sigma / m \sim 1\%$ , tails  $< 10\%$   $\rightarrow$  good quality of  $E, p$  measurements in ECAL and tracker

• background dominated by irreducible ZZ production (tt and Zbb rejected by Z-mass constraint, and lepton isolation and impact parameter)

$\rightarrow WW \rightarrow l\nu l\nu$  : high rate ( $\sim 100$  evts/expt) but no mass peak

$\rightarrow$  not ideal for early discovery ...

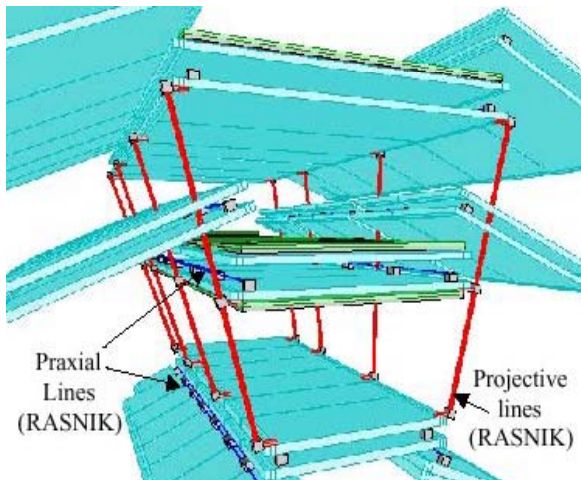
# Muon Spectrometer Strategy



$\sigma/p < 10\%$  for  $E_\mu \sim \text{TeV}$  needed to observe a possible new resonance  $X \rightarrow \mu\mu$  as a "narrow" peak

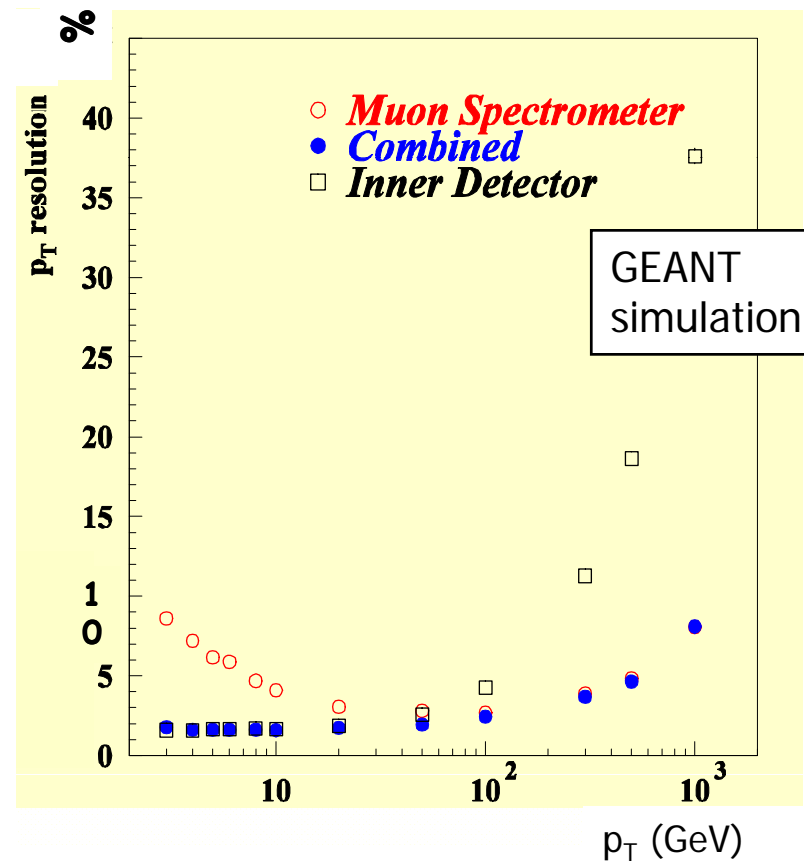
$$E_\mu \sim 1 \text{ TeV} \Rightarrow \Delta \sim 500 \mu\text{m}$$

$$\sigma/p \sim 10\% \Rightarrow \delta\Delta \sim 50 \mu$$



alignment accur.  
to  $\sim 30 \mu\text{m}$

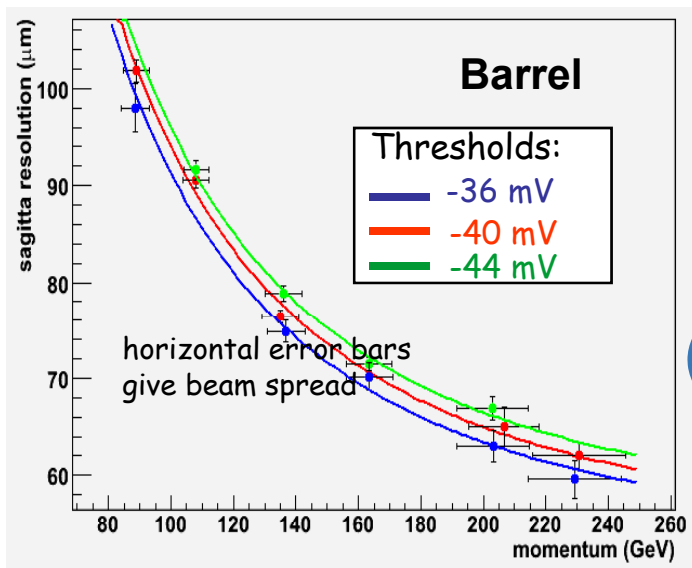
Muon momentum resolution



# Can we achieve such a precision ?

1) Showing that we master the intrinsic resolution of the MDT chambers (monitored drift tubes)

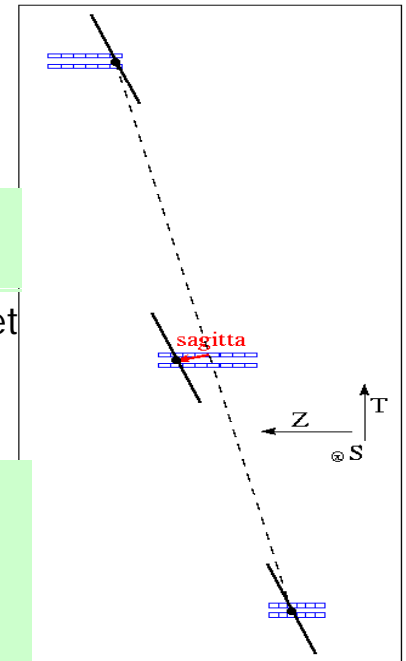
Sagitta resolution measured in the 2004 combined test beam



Data fitted with:  $\sigma = \sqrt{K_1^2 + (K_2/p)^2}$

- $p$  = muon momentum from beam magnet
- $K_1$  = intrinsic resolution
- $K_2$  = multiple scattering

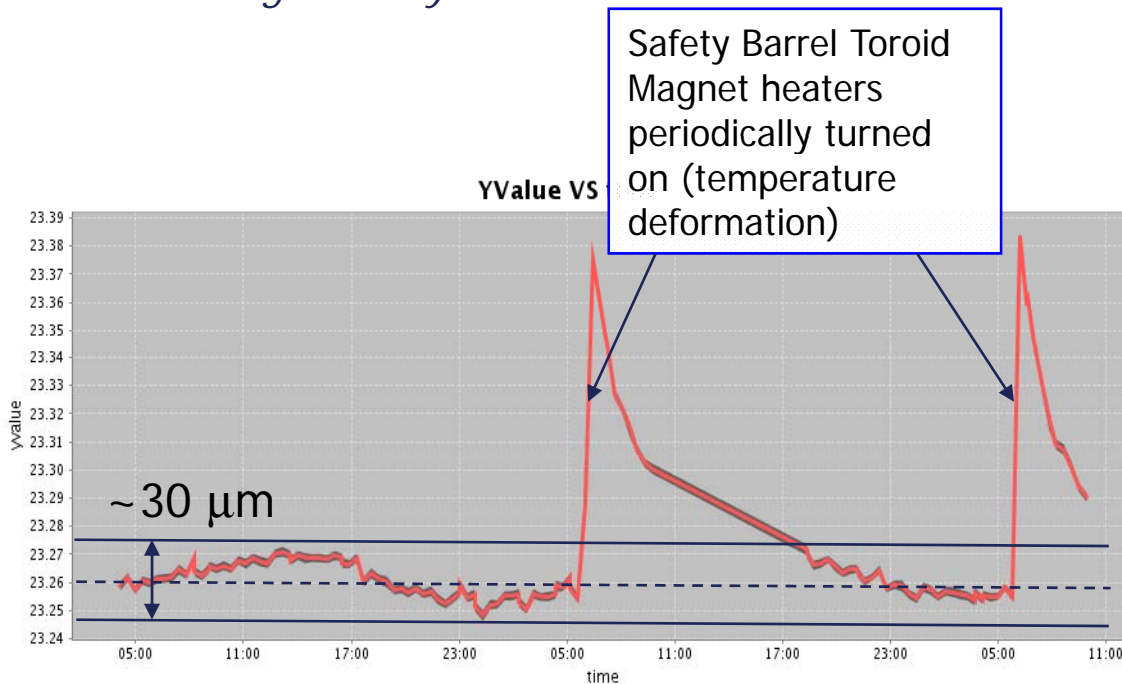
Data	Simulation
$K_1 = 50.7 \pm 1.5 \mu\text{m}$	$K_1 = 40 \pm 3 \mu\text{m}$
$0.29 \pm 0.01 X_0$	$0.32 \pm 0.02 X_0$



All this might sound obvious but it is not: think of wire positioning, tubes mechanical properties, straightness, gravitational sag, gaps between tubes, traceability, mass production in many different locations, ...

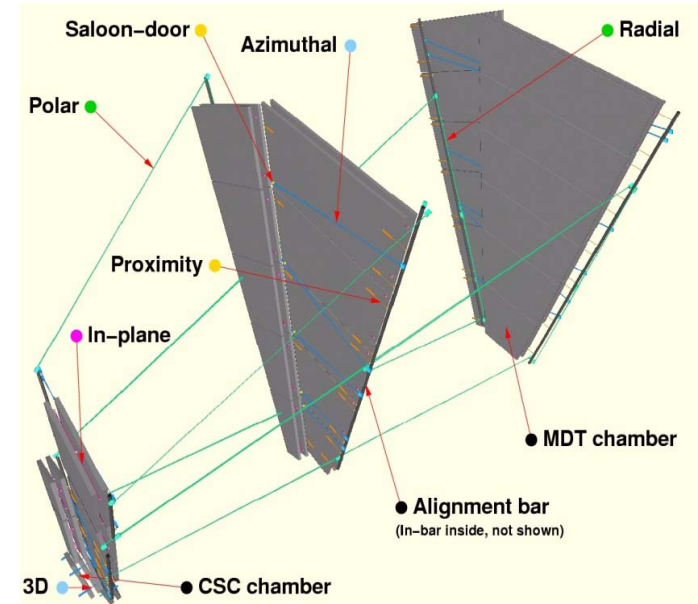
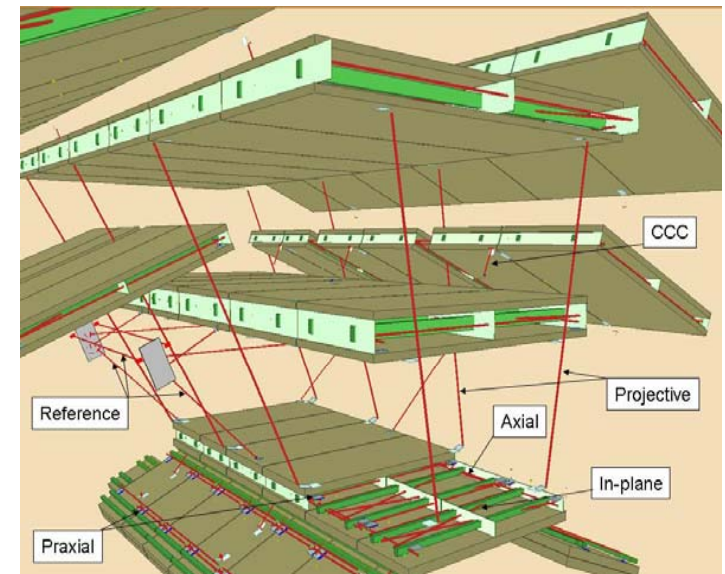
# Can we achieve such a precision ?

2) Showing that we know the geometrical position of all chambers in time, using a sophisticated alignment system



Example of one projective line stability

*We demonstrated an alignment precision of  $\pm 20 \mu\text{m}$  with the test beam setup already*

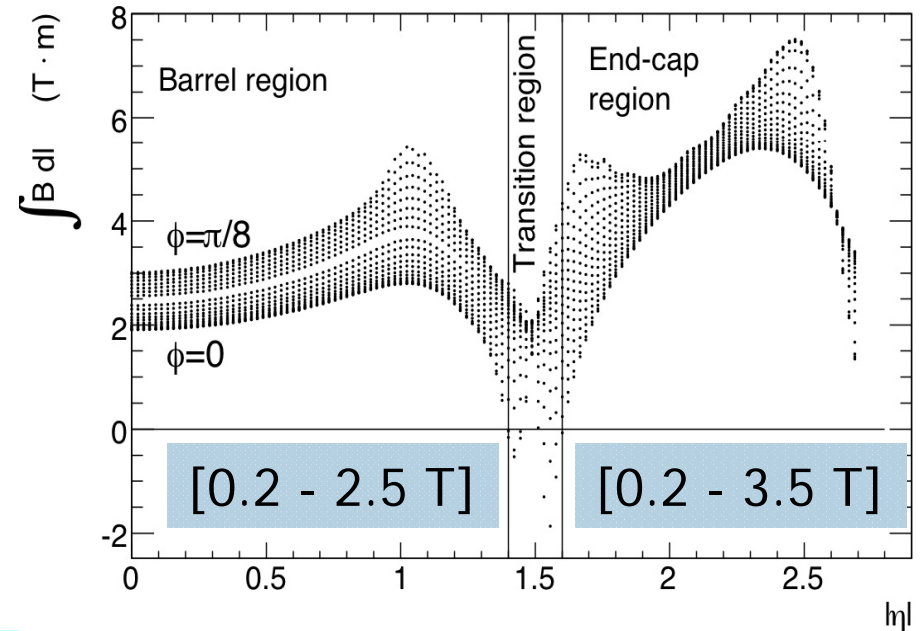
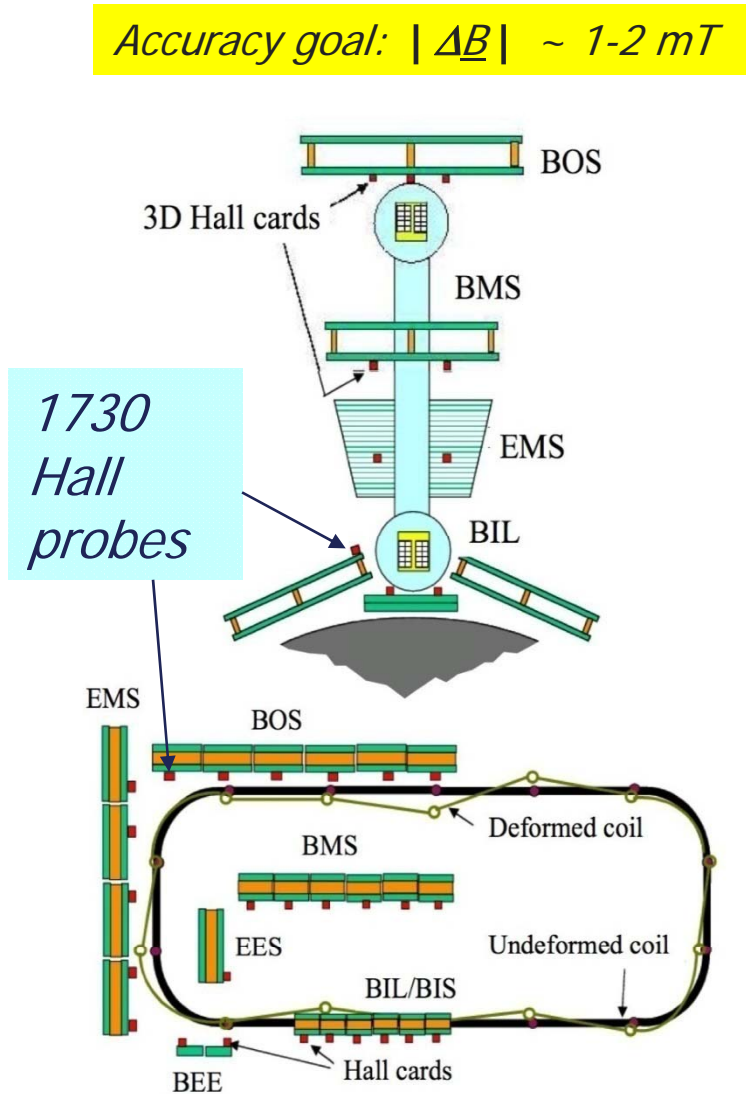




# Can we achieve such a precision ?

3) By controlling and knowing the B-field properties of the spectrometer

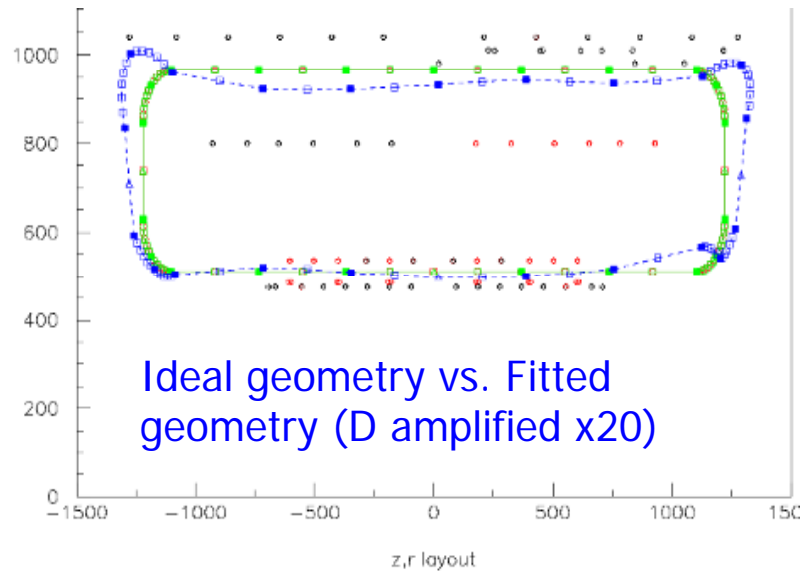
Accuracy goal:  $|\Delta B| \sim 1\text{-}2\text{ mT}$



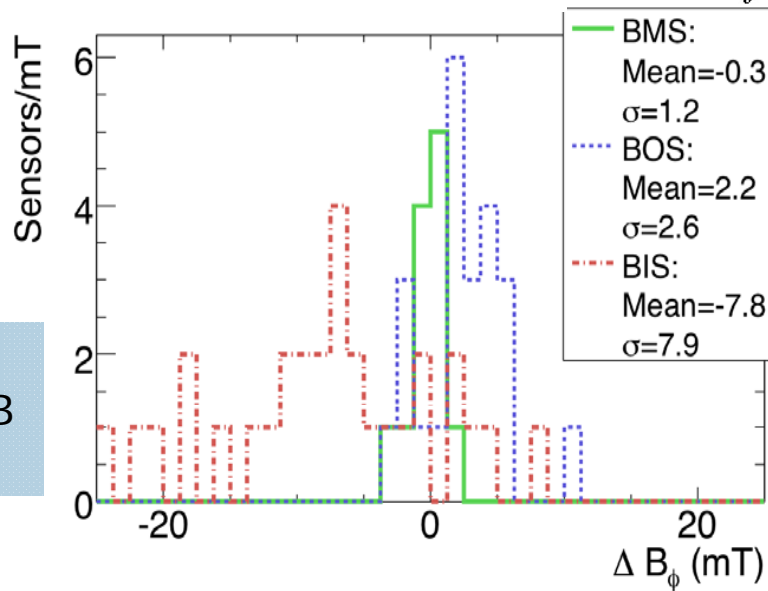
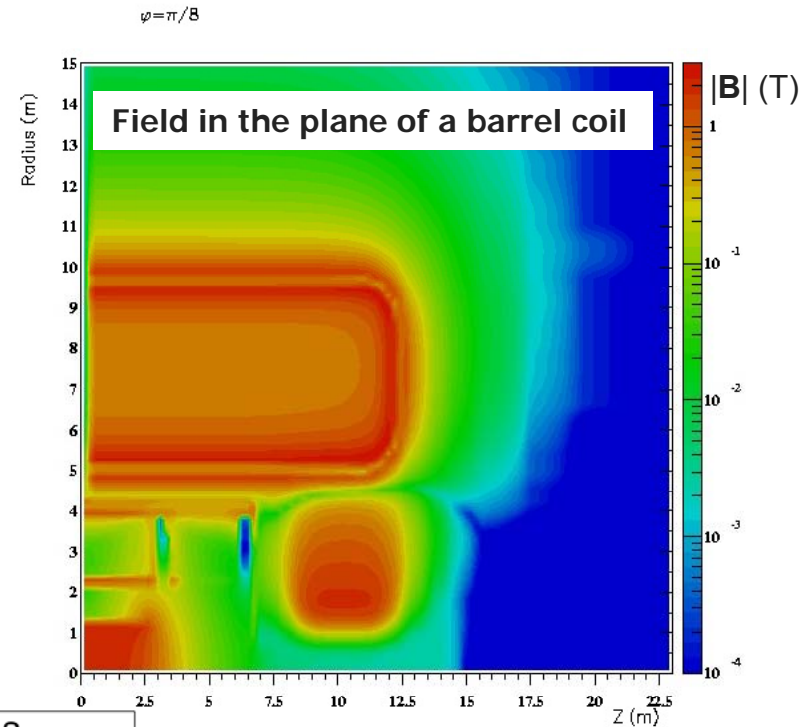
## Strategy:

- Measure the B-field vector ( $B_{x,y,z}$ ) to  $< 0.5\text{ mT}$  with  $\sim 1800$  sensors (3-D Hall cards) positioned (2mm, 3 mrad) at places where the field gradient is large
- Use the B-sensor readings after correcting for the magnetic pollution predicted for known regions, to fit the position (and shape) of each toroid coil
- Once the geometry is known, compute B numerically everywhere

# Can we achieve such a precision ?



Comparison of *ideal* coil geometry, with that reconstructed from B-sensor data



Field reconstruction residual  $\Delta B_\phi$ , in mT, for a middle (green, solid), outer (blue, dashed) and inner (red, dot-dashed) MDT layer.

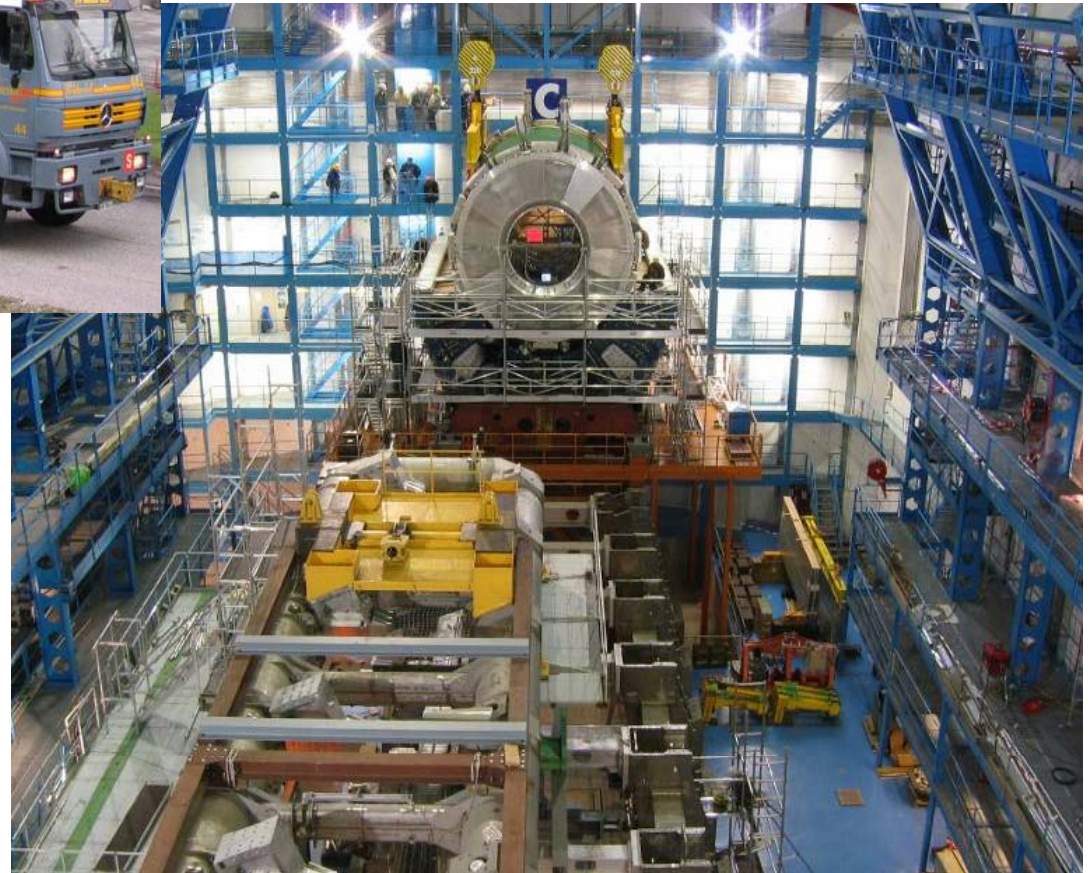
By comparison, the accuracy goal is  $\langle \Delta B \rangle = 0$ ,  $\sigma(\Delta B) \sim 1-2 \text{ mT}$

First results now waiting for final B test in 2008

Pojďte se podívat do podzemí



**End of October 2004 the cryostat was transported to the pit, and lowered into the cavern**





**The first coil was installed in October 2004**



**The last coil was moved into position on 25<sup>th</sup> August 2005**